

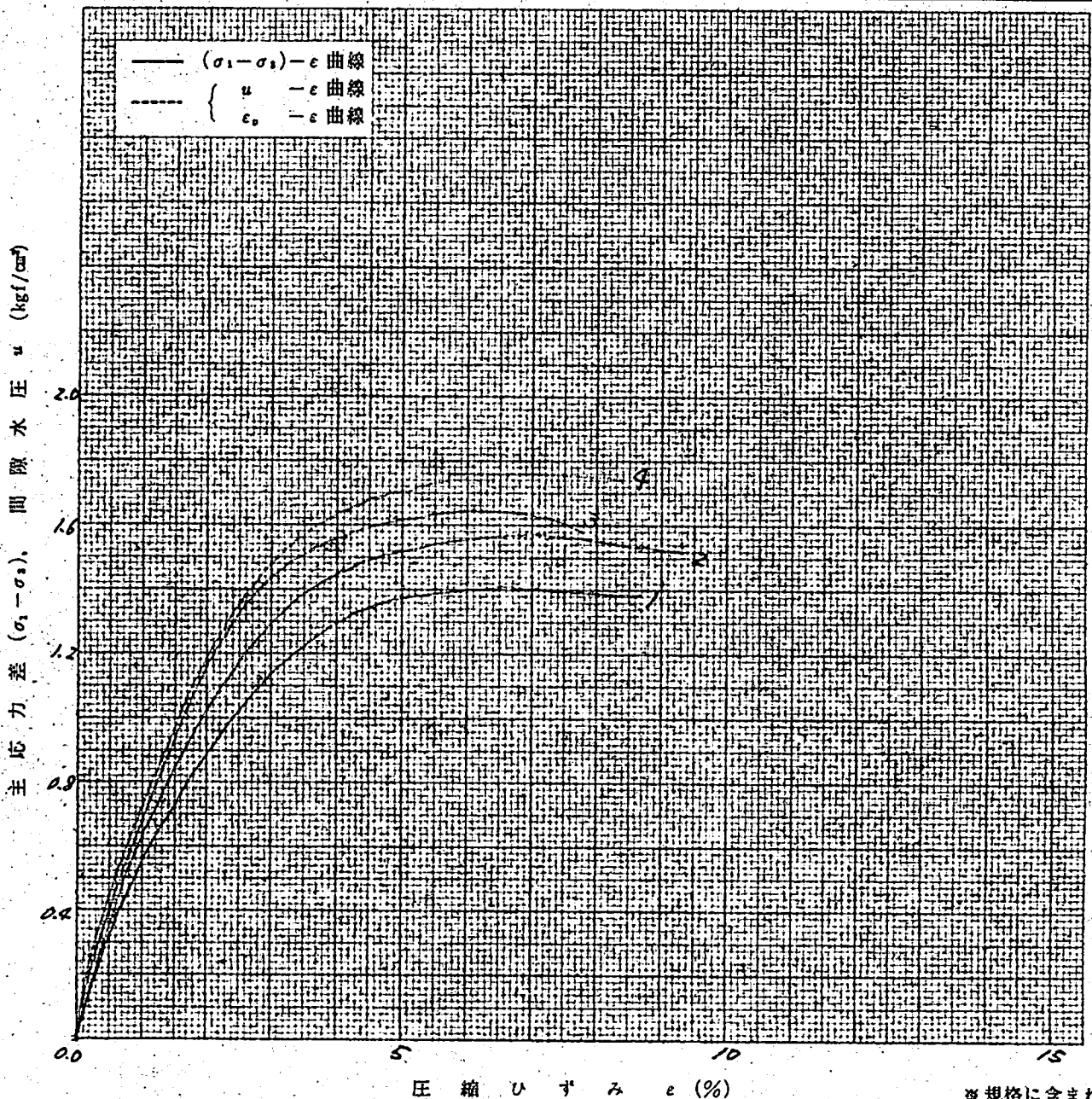
調査名・調査地点 稲毛海浜公園地質調査委託

試験年月日 60年9月27日

試料番号・深さ: No. 2 (35.00m~35.80m)

試験者

軸圧縮方法	ひずみ制御, 応力制御, 両者併用					力計ひょう量	200	kgf
軸圧縮速度	軸ひずみ速度 1.0 %/min, 応力増加速度					室温		°C
供試体番号	No. 1	No. 2	No. 3	No. 4	No.			
側圧 σ_3	kgf/cm ²	0.5	1.0	2.0	3.0			
主応力差ピーク時	主応力差 $(\sigma_1 - \sigma_3)_f$	kgf/cm ²	1.810	1.572	1.642	1.760		
	圧縮ひずみ ϵ_f	%	6.5	7.1	6.2	6.6		
	CU	※間隙水圧 u_f	kgf/cm ²					
		※間隙圧係数 A_f						
	CD	※間隙比 e_f						
	体積ひずみ ϵ_{v_f}	%						
供試体の破壊状況								



※規格に含まれていない。

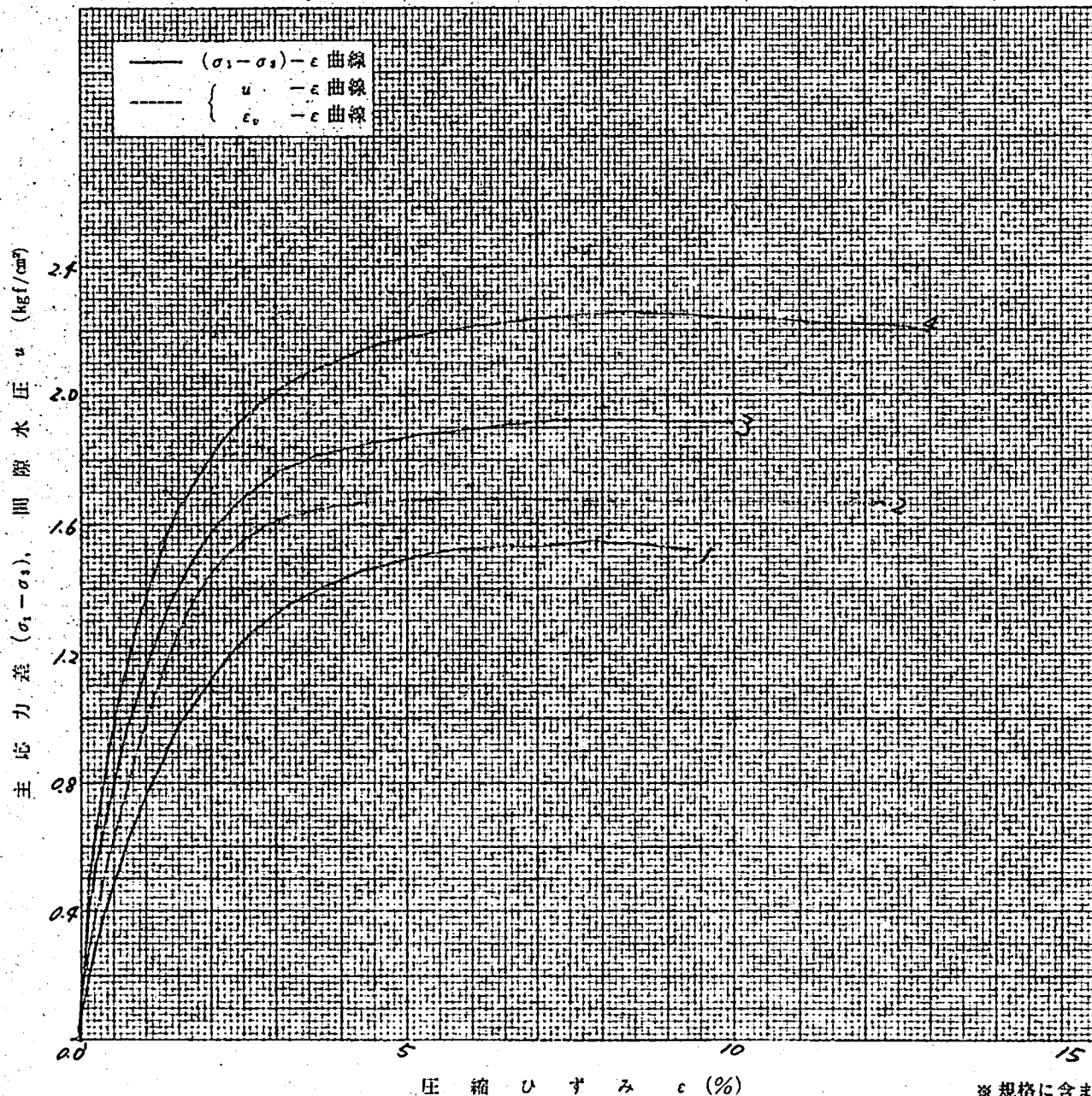
調査名・調査地点 稲毛海浜公園地質調査委託

試験年月日 60年9月27日

試料番号・深さ: No. 2 (39.00m~39.80m)

試験者

軸圧縮方法	ひずみ制御, 応力制御, 両者併用				力計ひょう量	200	kgf
軸圧縮速度	軸ひずみ速度 1.0 %/min, 応力増加速度				kgf/cm ² /min	室温	°C
供試体番号	No. 1	No. 2	No. 3	No. 4	No.		
側圧 σ_3	0.5	1.0	2.0	3.0			
主応力差 $(\sigma_1 - \sigma_3)_f$	1.535	1.680	1.925	2.260			
圧縮ひずみ ϵ_f	6.6	6.3	7.4	8.3			
\overline{CU}	※間隙水圧 u_f						
	※間隙圧係数 A_f						
CD	※間隙比 e_f						
	体積ひずみ ϵ_{vf}						
供試体の破壊状況							



※規格に含まれていない。

三軸圧縮試験 (CU, CU, CU, CD) (側圧 - 最大主応力差 / 垂直応力 - せん断応力)

報告用紙 III

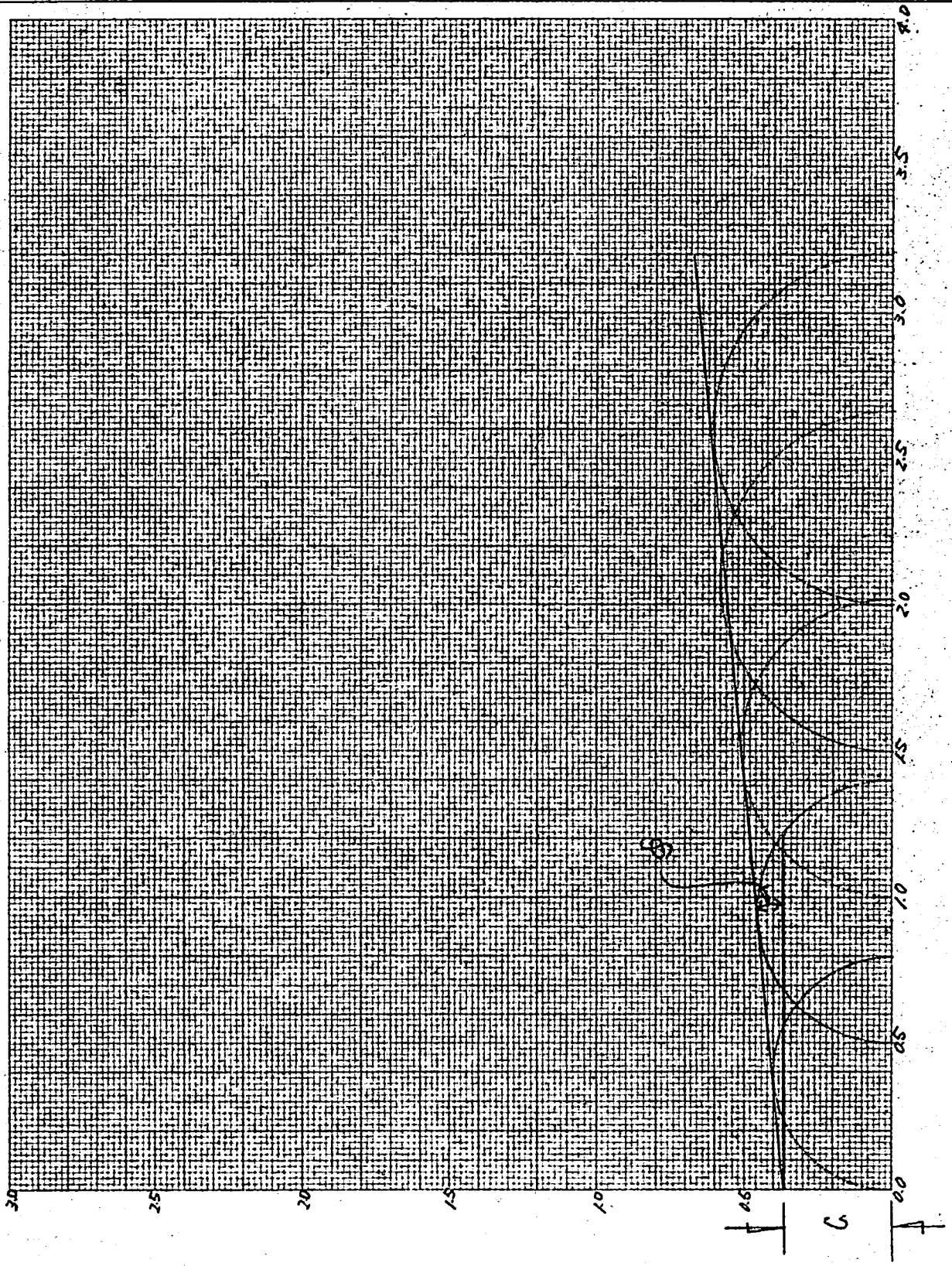
調査名・調査地点 稲毛海浜公園地質調査委託

試験年月日 60年 9月 27日

試料番号・深さ: No. 2 (12.00 m ~ 12.80 m)

試験者

※強度定数	応力範囲	c kgf/cm ²	φ 度	tan φ	c' kgf/cm ²	φ' 度
	正規圧密領域		0.37	5.6	0.098	
過圧密領域						



図は縦軸、横軸ともに使いやすいようにして使用する。

※規格に含まれていない

三軸圧縮試験 (CU, CU, CD) (側圧 - 最大主応力差 / 垂直応力 - せん断応力)

報告用紙 III

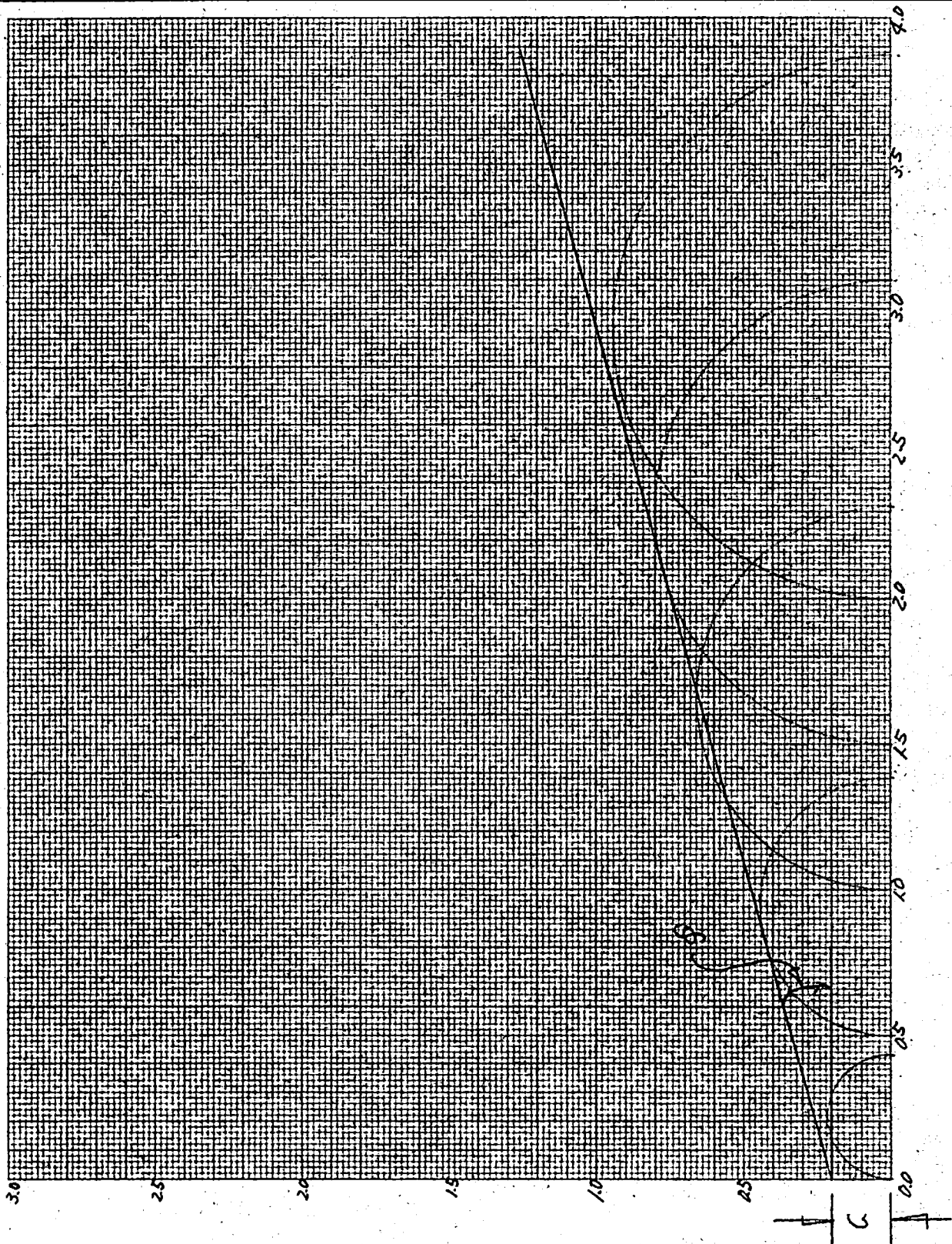
調査名・調査地点 稲毛海浜公園地質調査委託

試験年月日 60年9月27日

試料番号・深さ: No. 2 (17.00m ~ 17.80m)

試験者

剪強度定数	応力範囲	c kgf/cm ²	φ 度	tan φ	c' kgf/cm ²	φ' 度
	正規圧密領域		0.20	15.3	0.274	
過圧密領域						



図は縦軸、横軸ともに使いやすいようにして使用する。

※規格に含まれていない

三軸圧縮試験 (UU, CU, \overline{CU} , CD) (側圧-最大主応力差 / 垂直応力-せん断応力)

報告用紙 III

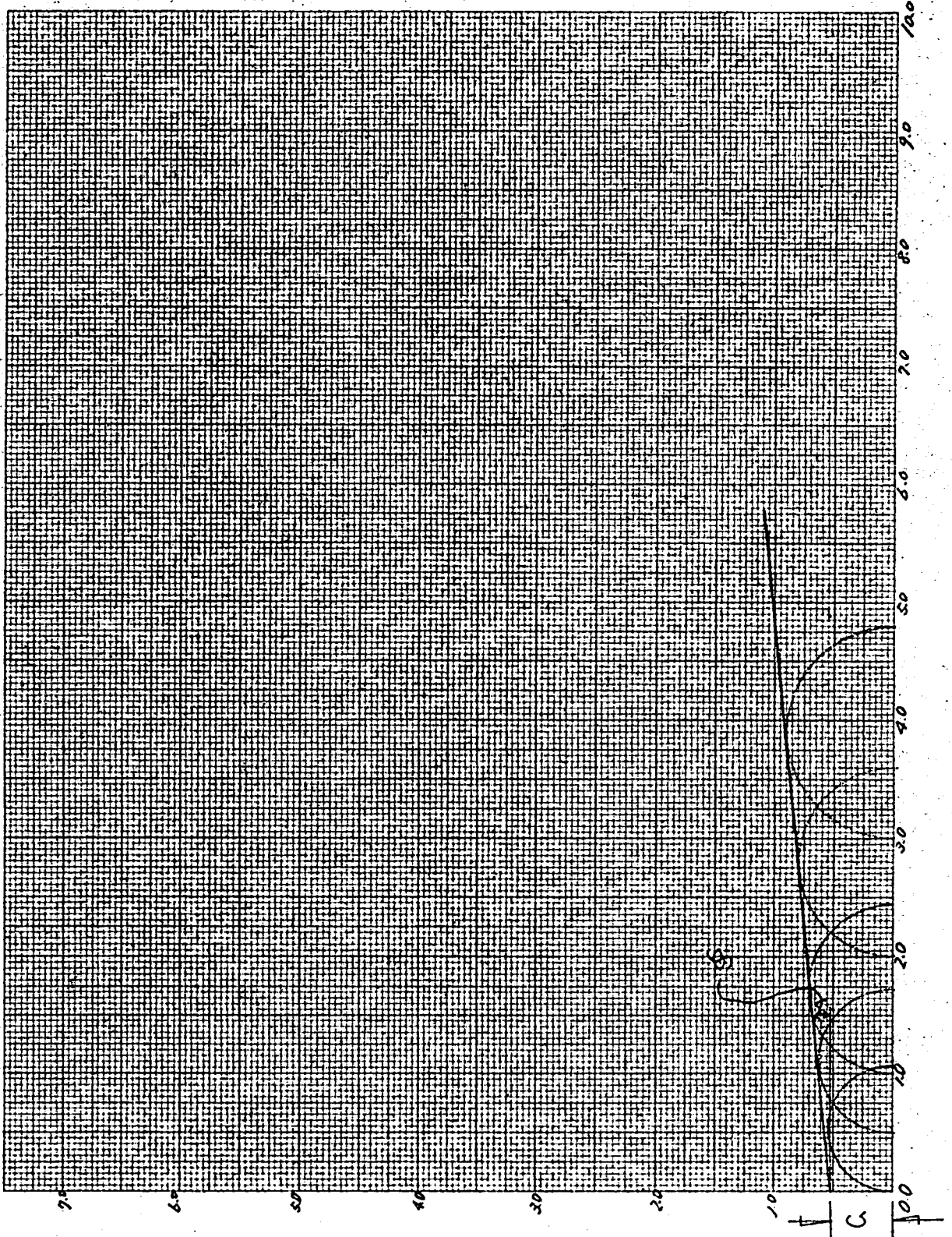
調査名・調査地点 稲毛海浜公園地質調査委託

試験年月日 60年 9月 27日

試料番号・深さ: No. 2 (21.00 m ~ 21.80 m)

試験者

強度定数	応力範囲	c kgf/cm ²	ϕ 度	$\tan \phi$	c' kgf/cm ²	ϕ' 度
	正規圧密領域		0.52	5.6	0.098	
過圧密領域						



図は縦軸、横軸ともに使いやすいようにして使用する。

※規格に含まれていない

三軸圧縮試験 (CU, CU, CD) (側圧 - 最大主応力差 / 垂直応力 - せん断応力)

報告用紙 III

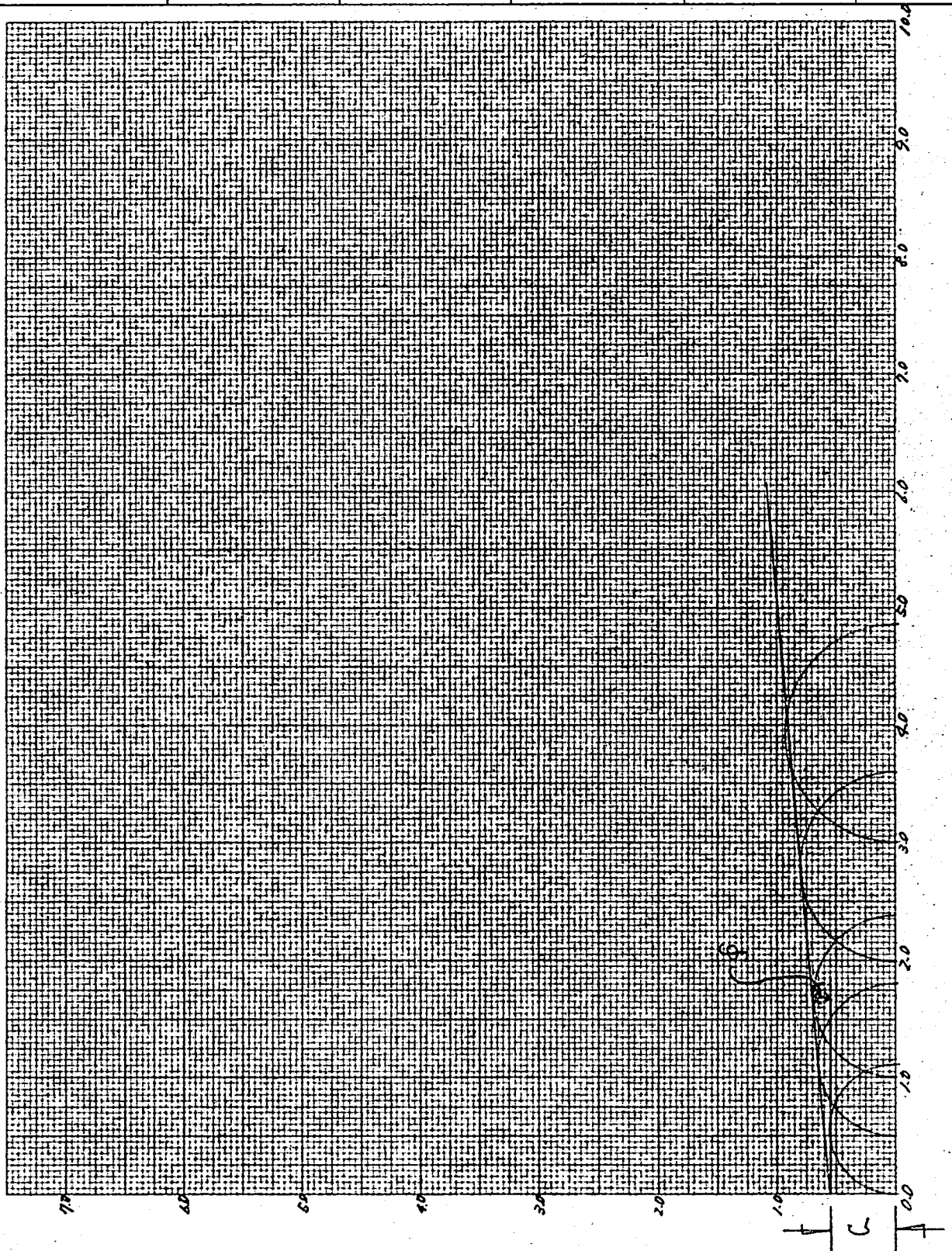
調査名・調査地点 稲毛海浜公園地質調査委託

試験年月日 60年 9月 22日

試料番号・深さ: No. 2 (3.00m ~ 3.80m)

試験者

※強度定数	応力範囲	c kgf/cm ²	φ 度	tan φ	c' kgf/cm ²	φ' 度
	正規圧密領域		0.55	5.2	0.091	
過圧密領域						



図は縦軸、横軸ともに使いやすいようにして使用する。

※規格に含まれていない

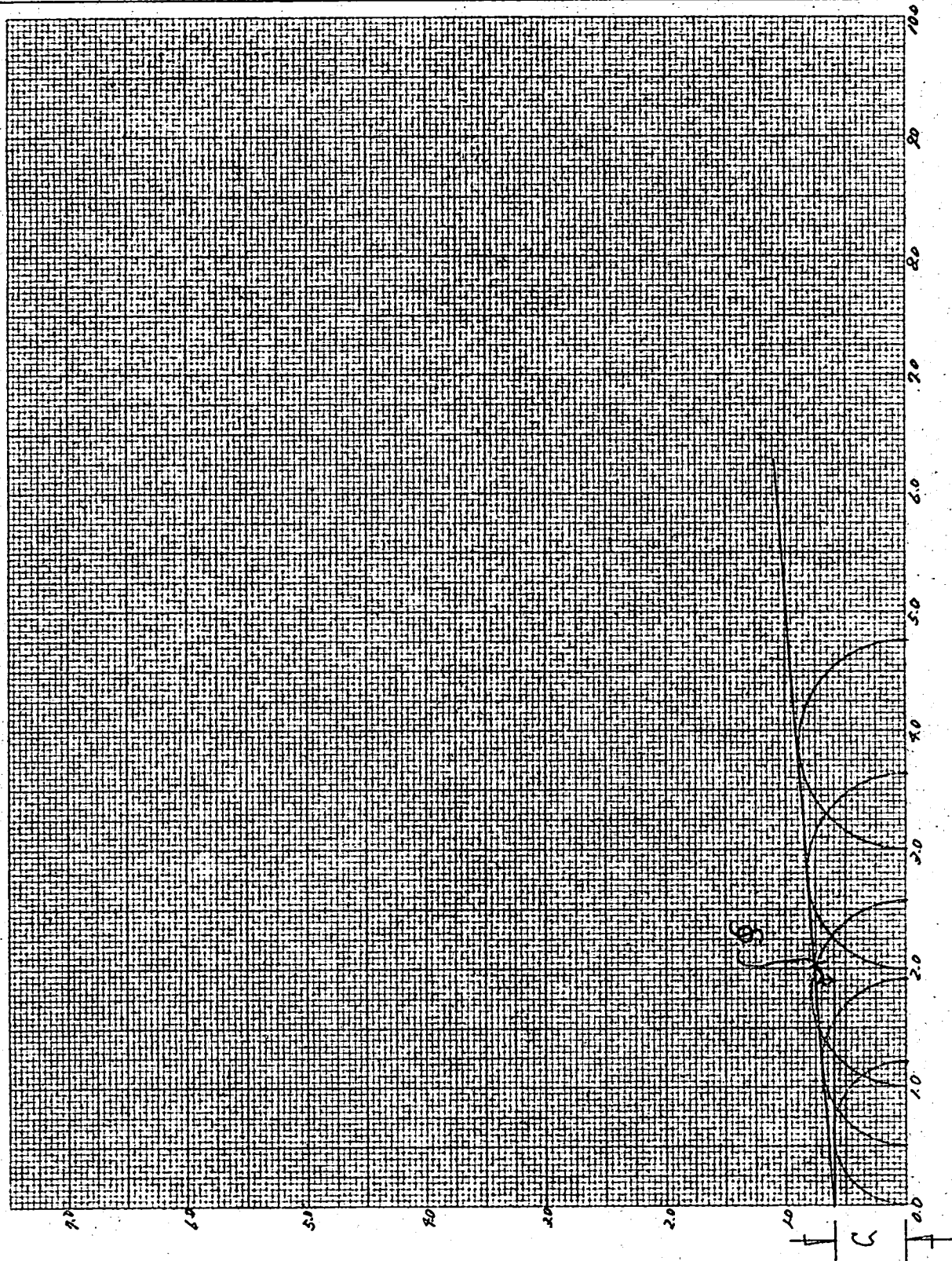
調査名・調査地点 稲毛海浜公園地質調査委託

試験年月日 60年9月27日

試料番号・深さ: No. 2 (35.00m ~ 35.80m)

試験者

※強度定数	応力範囲	c kgf/cm ²	ϕ 度	$\tan \phi$	c' kgf/cm ²	ϕ' 度
	正規圧密領域		0.60	7.6	0.080	
過圧密領域						



図は縦軸、横軸ともに使いやすいようにして使用する。

※規格に含まれていない

三軸圧縮試験 (CU, CU, CD) (側圧 - 最大主応力差 / 垂直応力 - セン断応力)

報告用紙 III

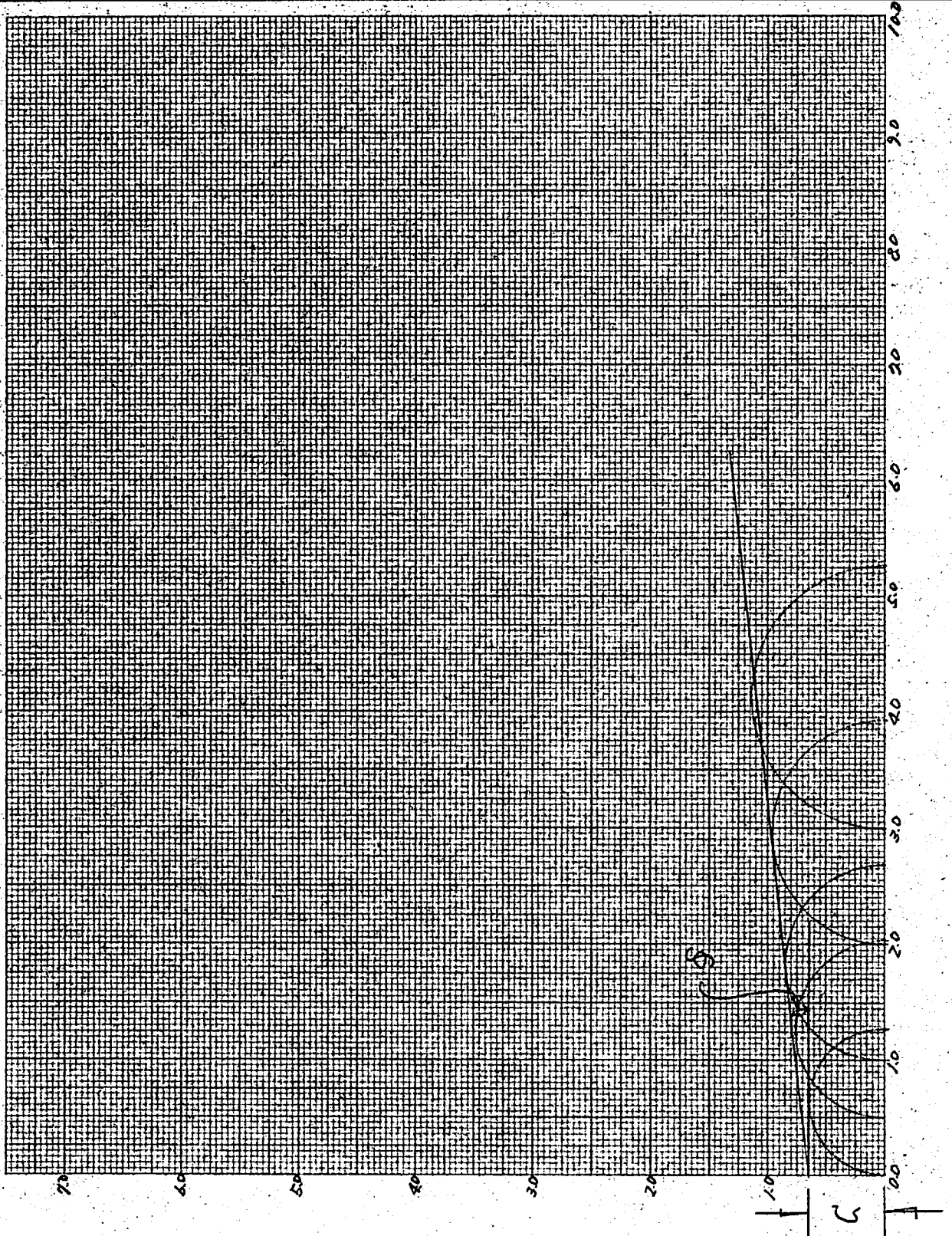
調査名・調査地点 稲毛海浜公園地質調査委託

試験年月日 昭和 40 年 9 月 27 日

試料番号：深さ：No. 2 (39.00 m ~ 39.80 m)

試験者

※強度定数	応力範囲	c kgf/cm ²	φ 度	tan φ	c' kgf/cm ²	φ' 度
	正規圧密領域		0.64	6.2	0.109	
過圧密領域						



図は縦軸、横軸ともに使いやすいようにして使用する。

※規格に含まれていない

調査名・調査地点 鶴毛海浜公園地質調査委託 試験年月日 60年 9月 27日

試料番号・深さ: No. 2 (12.00 m ~ 12.80 m) 試験者

試料の状態				室温		試験機番号		No.		
試料の 一次 性質	土質名称	2.689		供試体 初期状態	断面積 A cm ²	28.26		含水比 w _o %	51.70	
	土粒子の比重 G _s				高さ h _o cm	2.000		体積比 f _o	2.390	
	液性限界 w _L %				乾燥質量 (m _s -m _r) g	63.600		間隙比 e _o	1.390	
	塑性限界 w _p %				実質部の高さ h _s cm	.837		飽和度 S _{ro} %	100.0	
荷重 段階 n	圧力		圧密量 Δd (10 ⁻³ cm)	試料高さ h cm	平均試料高さ h̄ cm	圧縮ひずみ ε %	体積圧縮係数 m _v cm ³ /kgf	体積比 f	間隙比 e	計 算 式
	p kgf/cm ²	Δp kgf/cm ²								
0	0.0	.4	28.5	2.0000	1.9858	1.4	3.59×10 ²	2.390	1.390	$h_s = \frac{(m_s - m_r)}{G_s \cdot \rho_w \cdot A}$
1	.4	.4	24.6	1.9715	1.9592	1.3	3.14×10 ²	2.356	1.356	$h_s = \frac{h_{s-1} + h_s}{2}$
2	.8	.8	43.5	1.9469	1.9252	2.3	2.82×10 ²	2.326	1.326	$e = \frac{\Delta d}{10h}$
3	1.6	1.6	77.5	1.9034	1.8647	4.2	2.60×10 ²	2.274	1.274	$m_v = \frac{\epsilon}{\Delta p} \cdot \frac{1}{100}$
4	3.2	3.2	103.7	1.8259	1.7741	5.8	1.83×10 ²	2.182	1.182	$f = \frac{h}{h_s}$
5	6.4	6.4	83.6	1.7222	1.6804	5.0	7.77×10 ¹	2.058	1.058	$e = f - 1$
6	12.8	-12.4	-42.2	1.6386	1.6808			1.958	.958	$S_{ro} = \frac{G_s \cdot w_o}{e_o}$
7	0.4							2.008	1.008	$\bar{p} = \frac{p_{n-1} + p_n}{2}$
8										√t 法: $c_v = \frac{0.848(\frac{h}{2})^2}{t_{90}} \times 1440$
9										$= \frac{305(h)^2}{t_{90}}$
荷重 段階	圧力		t ₉₀ min	圧密係数 c _v cm ² /d	一次圧密量 Δd' (10 ⁻³ cm)	一次圧密比 r	圧密係数の 補正值 c' _v cm ² /d	透水係数 k cm/s	備考	
	p kgf/cm ²	p̄ kgf/cm ²							t ₅₀	k
0	0.0	.2	.60	2.01E+03	13.4	.470	9.43E+02	3.92×10 ⁻⁷		
1	.4	.6	.38	3.08E+03	7.2	.293	9.03E+02	3.28×10 ⁻⁷		
2	.8	1.2	.68	1.66E+03	12.4	.285	4.74E+02	1.55×10 ⁻⁷		
3	1.6	2.4	.78	1.36E+03	30.3	.391	5.32E+02	1.60×10 ⁻⁷		
4	3.2	4.8	.67	1.43E+03	16.7	.161	2.31E+02	4.88×10 ⁻⁸		
5	6.4	9.6	.60	1.44E+03	40.2	.481	6.91E+02	6.22×10 ⁻⁸		
6	12.8									※規格には含まれない。
7								×10 ¹⁰		圧縮指数
8								×10 ¹⁰		C _c
9										圧密降伏応力 p _c kgf/cm ²

調査名・調査地点 稲毛海浜公園地質調査委託

試験年月日 60年 9月 27日

試料番号・深さ: No. 2 (17.00 m ~ 17.80 m)

試験者

試料の状態		室温		℃ ~ ℃		試験機番号		No.		
試料の 一次性質	土質名称			断面積 A cm ²	28.26	含水比 w ₀ %	41.70			
	土粒子の比重 G _s	2.674		高さ h ₀ cm	2.000	体積比 f ₀	2.131			
	液性限界 w _L %			乾燥質量 (m _s -m _r) g	70.920	間隙比 e ₀	1.131			
	塑性限界 w _p %			実質部の高さ h _s cm	.939	飽和度 S _{ro} %	98.6			
荷重 段階 n	圧力		圧密量 Δd (10 ⁻³ cm)	試料高さ h cm	平均試料高さ h̄ cm	圧縮ひずみ ε %	体積圧縮係数 m _v cm ³ /kgf	体積比 f	間隙比 e	計算式
	p kgf/cm ²	Δp kgf/cm ²								
0	0.0			2.0000				2.131	1.131	$h_s = \frac{(m_s - m_r)}{G_s \cdot \rho_w \cdot A}$ $\bar{h}_n = \frac{h_{n-1} + h_n}{2}$ $\varepsilon = \frac{\Delta d}{10\bar{h}}$ $m_v = \frac{\varepsilon}{\Delta p} \cdot \frac{1}{100}$ $f = \frac{h}{h_s}$ $e = f - 1$ $S_{ro} = \frac{G_s \cdot w_0}{e_0}$ $\bar{p} = \frac{p_{n-1} + p_n}{2}$ <p>√T 法:</p> $c_v = \frac{0.848(\frac{f}{2})^2}{t_{90}} \times 1440$ $= \frac{305(\bar{h})^2}{t_{90}}$ <p>曲線定規法:</p> $c_v = \frac{0.197(\frac{f}{2})^2}{t_{50}} \times 1440$ $= \frac{70.9(\bar{h})^2}{t_{50}}$ $r = \frac{\Delta d'}{\Delta d}$ $c_v' = r \cdot c_v$ $k = \frac{c_v' \cdot m_v \cdot \gamma_w}{8.64 \times 10^7}$
1	.4	.4	26.3	1.9737	1.9869	1.3	3.31×10 ²	2.103	1.103	
2	.8	.8	21.0	1.9527	1.9632	1.1	2.67×10 ²	2.081	1.081	
3	1.6	1.6	24.4	1.9283	1.9405	1.3	1.57×10 ²	2.055	1.055	
4	3.2	3.2	35.0	1.8933	1.9108	1.8	1.14×10 ²	2.017	1.017	
5	6.4	6.4	43.5	1.8498	1.8716	2.3	7.26×10 ³	1.971	.971	
6	12.8	12.8	57.8	1.7920	1.8209	3.2	4.96×10 ³	1.909	.909	
7	0.4	12.4	-29.2	1.8212				1.940	.940	
8										
9										
荷重 段階	圧力		t ₉₀ min	圧密係数 c _v cm ² /d	一次圧密量 Δd' (10 ⁻³ cm)	一次圧密比 r	圧密係数の 補正值 c _v ' cm ² /d	透水係数 k cm/s		
	p kgf/cm ²	p̄ kgf/cm ²							t ₅₀	
0	0.0	.2	.48	2.51E+03	7.3	.278	6.97E+02	2.67×10 ⁻⁷		
1	.4	.6	.68	1.73E+03	4.4	.210	3.63E+02	1.12×10 ⁻⁷		
2	.8	1.2	.63	1.82E+03	4.9	.201	3.66E+02	6.67×10 ⁻⁸		
3	1.6	2.4	.78	1.43E+03	7.8	.223	3.18E+02	4.22×10 ⁻⁸		
4	3.2	4.8	.52	2.06E+03	8.0	.184	3.78E+02	3.18×10 ⁻⁸		
5	6.4	9.6	1.20	8.44E+02	11.7	.202	1.71E+02	9.80×10 ⁻⁹		
6	12.8							×10 ⁻⁷	※規格には含まれない。	
7								×10 ⁻⁷	圧縮指数	
8									C _c	
9									圧密降伏応力 p _c kgf/cm ²	

調査名・調査地点 稲毛海浜公園地質調査委託 試験年月日 60年 9月 27日

試料番号・深さ: No. 2 (21.00 m ~ 21.80 m) 試験者

試料の状態		室温		℃ ~ ℃		試験機番号	No.			
試料の 一次性質	土質名称			断面積 A cm ²	28.26	含水比 w ₀ %	66.20			
	土粒子の比重 G _s	2.631		高さ h ₀ cm	2.000	体積比 f ₀	2.764			
	液性限界 w _L %			乾燥質量 (m _s -m _r) g	53.800	間隙比 e ₀	1.764			
	塑性限界 w _p %			実質部の高さ h _s cm	.724	飽和度 S _{r0} %	98.7			
荷重 段階 h	圧力		圧密量 Δd (10 ⁻³ cm)	試料高さ h cm	平均試料高さ h̄ cm	圧縮ひずみ ε %	体積圧縮係数 m _v cm ³ /kgf	体積比 f	間隙比 e	計算式
	p kgf/cm ²	Δp kgf/cm ²								
0	0.0	.4	37.7	2.0000	1.9812	1.9	4.76×10 ²	2.764	1.764	$h_s = \frac{(m_s - m_r)}{G_s \cdot p_0 \cdot A}$
1	.4	.4	27.3	1.9623	1.9487	1.4	3.50×10 ²	2.712	1.712	$\bar{h}_n = \frac{h_{n-1} + h_n}{2}$
2	.8	.8	45.0	1.9350	1.9125	2.4	2.94×10 ²	2.674	1.674	$e = \frac{\Delta d}{10h}$
3	1.6	1.6	119.1	1.8900	1.8305	6.5	4.07×10 ²	2.612	1.612	$m_v = \frac{\epsilon}{\Delta p} \cdot \frac{1}{100}$
4	3.2	3.2	142.6	1.7709	1.6996	8.4	2.62×10 ²	2.447	1.447	$f = \frac{h}{h_0}$
5	6.4	6.4	130.9	1.6283	1.5629	8.4	1.31×10 ²	2.250	1.250	$e_0 = f - 1$
6	12.8	12.8	130.9	1.4974	1.5629	8.4	1.31×10 ²	2.069	1.069	$S_{r0} = \frac{G_s \cdot w_0}{e_0}$
7	0.4	-12.4	-50.9	1.5483				2.139	1.139	$\bar{p} = \frac{p_{n-1} + p_n}{2}$
8										√T 法: $c_v = \frac{0.848(\frac{r}{h})^2}{t_{90}} \times 1440$
9										$= \frac{305(h)^2}{t_{90}}$
0	0.0	.2	1.70	7.05E+02	22.0	.584	4.11E+02	2.26×10 ⁻⁷		曲線定規法: $c_v = \frac{0.197(\frac{r}{h})^2}{t_{50}} \times 1440$
1	.4	.6	1.00	1.16E+03	11.2	.410	4.76E+02	1.93×10 ⁻⁷		$= \frac{70.9(h)^2}{t_{50}}$
2	.8	1.2	.82	1.36E+03	16.3	.362	4.93E+02	1.68×10 ⁻⁷		$r = \frac{\Delta d'}{\Delta d}$
3	1.6	2.4	2.20	4.65E+02	45.6	.383	1.78E+02	8.38×10 ⁻⁸		$c_v' = r \cdot c_v$
4	3.2	4.8	4.20	2.10E+02	76.7	.538	1.13E+02	3.43×10 ⁻⁸		$k = \frac{c_v' \cdot m_v \cdot \gamma_w}{8.64 \times 10^7}$
5	6.4	9.6	4.40	1.69E+02	68.1	.520	8.82E+01	1.34×10 ⁻⁸		備考
6	12.8									※規格には含まれない。
7										圧縮指数
8										C _c
9										圧密降伏応力 p _e kgf/cm ²

調査名・調査地点 稲毛海浜公園地質調査委託 試験年月日 60年9月27日

試料番号・深さ: No. 2 (31.00 m ~ 31.80 m) 試験者

試料の状態			室温	℃ ~ °C	試験機番号	No.	
試料の 一次性質	土質名称		供試体 初期状態	断面積 A cm ²	28.26	含水比 w ₀ %	92.50
	土粒子の比重 G _s	2.626		高さ h ₀ cm	2.000	体積比 f ₀	3.510
	液性限界 w _L %			乾燥質量 (m _s -m _r) g	42.280	間隙比 e ₀	2.510
	塑性限界 w _p %			実質部の高さ h _s cm	.570	飽和度 S _{r0} %	96.8

荷重 段階 n	圧力		圧密量 Δd (10 ⁻³ cm)	試料高さ h cm	平均試料高さ h̄ cm	圧縮ひずみ ε %	体積圧縮係数 m _v cm ³ /kgf	体積比 f	間隙比 e	計算式
	p kgf/cm ²	Δp kgf/cm ²								
0	0.0			2.0000				3.510	2.510	$h_s = \frac{(m_s - m_r)}{G_s \cdot \rho_w \cdot A}$
1	.4	.4	38.6	1.9614	1.9807	1.9	4.87×10 ²	3.443	2.443	$h_n = \frac{h_{n-1} + h_n}{2}$
2	.8	.4	33.4	1.9280	1.9447	1.7	4.29×10 ²	3.384	2.384	$e = \frac{\Delta d}{10h}$
3	1.6	.8	52.5	1.8755	1.9018	2.8	3.45×10 ²	3.292	2.292	$m_v = \frac{\epsilon}{\Delta p} \cdot \frac{1}{100}$
4	3.2	1.6	116.4	1.7591	1.8173	6.4	4.00×10 ²	3.088	2.088	$f = \frac{h}{h_0}$
5	6.4	3.2	150.1	1.6090	1.6841	8.9	2.79×10 ²	2.824	1.824	$e = f - 1$
6	12.8	6.4	153.8	1.4552	1.5321	10.0	1.57×10 ²	2.554	1.554	$S_{r0} = \frac{G_s \cdot w_0}{e_0}$
7	0.4	12.4	-62.1	1.5173				2.662	1.662	$\bar{p} = \frac{p_{n-1} + p_n}{2}$
8										√T 法: $c_v = \frac{0.848(\frac{L}{2})^2}{t_{90}} \times 1440$
9										$= \frac{305(L)^2}{t_{90}}$
										曲線定規法: $c_v = \frac{0.197(\frac{L}{2})^2}{t_{50}} \times 1440$
										$= \frac{70.9(L)^2}{t_{50}}$
荷重 段階	p kgf/cm ²	p̄ kgf/cm ²	t ₉₀ min	圧密係数 c _v cm ² /d	一次圧密量 Δd' (10 ⁻³ cm)	一次圧密比 r	圧密係数の 補正值 c' _v cm ² /d	透水係数 k cm/s		
0	0.0									
1	.4	.2	2.00	5.99E+02	20.6	.534	3.20E+02	1.80×10 ⁻⁷		
2	.8	.6	2.10	5.50E+02	14.9	.446	2.45E+02	1.22×10 ⁻⁷		
3	1.6	1.2	2.30	4.80E+02	22.4	.427	2.05E+02	8.18×10 ⁻⁸		備考
4	3.2	2.4	4.50	2.24E+02	53.3	.458	1.03E+02	4.75×10 ⁻⁸		
5	6.4	4.8	6.60	1.31E+02	86.7	.578	7.58E+01	2.44×10 ⁻⁸		
6	12.8	9.6	6.00	1.19E+02	96.7	.629	7.51E+01	1.36×10 ⁻⁸		
7								×10 ⁻⁷		※規格には含まれない。
8								×10 ⁻⁷		圧縮指数 C _c
9										圧密降 伏応力 p _c kgf/cm ²

調査名・調査地点 船毛海浜公園地質調査委託 試験年月日 60年 9月 27日

試料番号・深さ: No. 2 (35.00 m ~ 35.80 m) 試験者

試料の状態			室温	℃ ~	℃	試験機番号	No.
試料の 一次性質	土質名称	2.662	供試体 初期状態	断面積 A cm ²	28.26	含水比 w ₀ %	94.30
	土粒子の比重 G _s			高さ h ₀ cm	2.000	体積比 f ₀	3.587
	液性限界 w _L %			乾燥質量 (m _s -m _r) g	41.950	間隙比 e ₀	2.587
	塑性限界 w _p %			実質部の高さ h _s cm	558	飽和度 S _{r0} %	97.1

荷重 段階 n	圧力		圧密量 Δd (10 ⁻³ cm)	試料高さ h cm	平均試料高さ h̄ cm	圧縮ひずみ ε %	体積圧縮係数 m _v cm ³ /kgf	体積比 f	間隙比 e	計算式
	p kgf/cm ²	Δp kgf/cm ²								
0	0.0	.4	49.3	2.0000	1.9754	2.5	6.24 × 10 ²	3.587	2.587	$h_s = \frac{(m_s - m_r)}{G_s \cdot \rho_w \cdot A}$
1	.4	.4	32.7	1.9507	1.9344	1.7	4.23 × 10 ²	3.498	2.498	$h_s = \frac{h_{s-1} + h_s}{2}$
2	.8	.8	50.0	1.9180	1.8930	2.6	3.30 × 10 ²	3.440	2.440	$e = \frac{\Delta d}{10h}$
3	1.6	1.6	96.9	1.8680	1.8196	5.3	3.33 × 10 ²	3.350	2.350	$m_v = \frac{\epsilon}{\Delta p} \cdot \frac{1}{100}$
4	3.2	3.2	142.8	1.7711	1.6997	8.4	2.63 × 10 ²	3.176	2.176	$f = \frac{h}{h_0}$
5	6.4	6.4	156.3	1.6283	1.5502	10.1	1.58 × 10 ²	2.920	1.920	$e = f - 1$
6	12.8	12.4	87.8	1.4720	1.5618			2.640	1.640	$S_{r0} = \frac{G_s \cdot w_0}{e_0}$
7	0.4							2.799	1.799	$\bar{p} = \frac{p_{n-1} + p_n}{2}$
8										√T 法: $c_v = \frac{0.848(\frac{h}{2})^2}{t_{90}} \times 1440$ $= \frac{305(h)^2}{t_{90}}$
9										曲線定規法: $c_v = \frac{0.197(\frac{h}{2})^2}{t_{50}} \times 1440$ $= \frac{70.9(h)^2}{t_{50}}$
荷重 段階	圧力		t ₉₀ min	圧密係数 c _v cm ² /d	一次圧密量 Δd' (10 ⁻³ cm)	一次圧密比 r	*圧密係数の 補正值 c _v ' cm ² /d	*透水係数 k cm/s		
	p kgf/cm ²	p̄ kgf/cm ²								
0	0.0	.2	1.70	7.01E+02	26.9	.546	3.82E+02	2.76 × 10 ⁷		$r = \frac{\Delta d'}{\Delta d}$
1	.4	.6	1.70	6.72E+02	12.7	.388	2.61E+02	1.28 × 10 ⁷		$c_v' = r \cdot c_v$
2	.8	1.2	2.20	4.97E+02	20.8	.416	2.07E+02	7.90 × 10 ⁸		$k = \frac{c_v' \cdot m_v \cdot \gamma_w}{8.64 \times 10^7}$
3	1.6	2.4	2.80	3.61E+02	41.1	.424	1.53E+02	5.90 × 10 ⁸		備考
4	3.2	4.8	4.20	2.10E+02	74.4	.521	1.09E+02	3.32 × 10 ⁸		
5	6.4	9.6	5.80	1.26E+02	94.7	.606	7.66E+01	1.40 × 10 ⁸		
6	12.8									
7										
8										
9										

*規格には含まれない。

圧縮指数

C_c

圧密降
伏応力
p_c kgf/cm²

調査名・調査地点 稲毛海浜公園地質調査委託 試験年月日 60年 9月 27日

試料番号・深さ: No. 2 (39.00 m ~ 39.80 m) 試験者

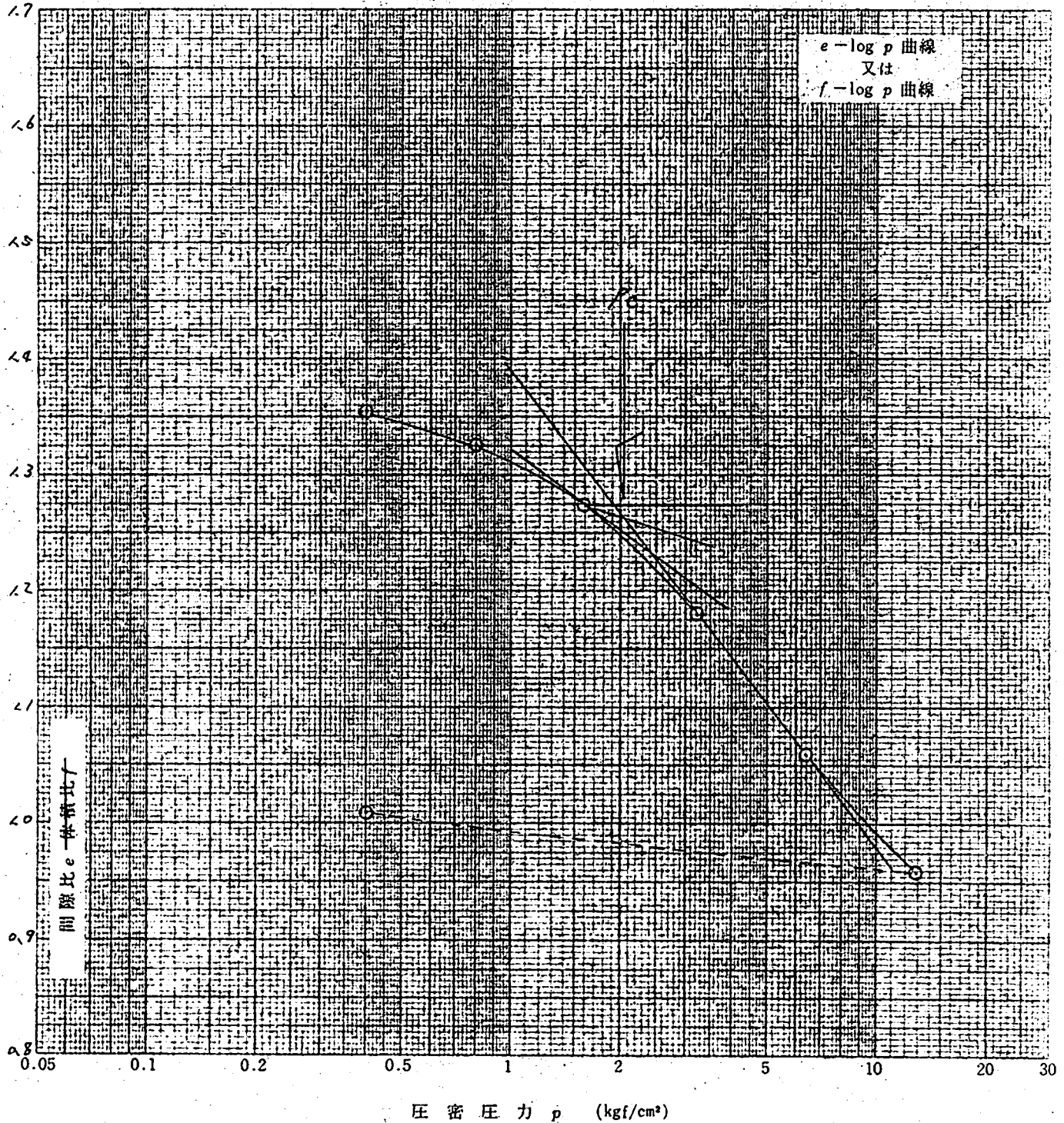
試料の状態		室温		℃ ~ ℃		試験機番号		No.		
試料の 一次性質	土質名称			断面積 A cm^2	28.26	含水比 w_o %		67.20		
	土粒子の比重 G_s	2.676		高さ h_o cm	2.000	体積比 f_o		2.781		
	液性限界 w_L %			乾燥質量 $(m_s - m_r)$ g	54.390	間隙比 e_o		1.781		
	塑性限界 w_p %			実質部の高さ h_s cm	.719	飽和度 S_{r_o} %		100.0		
荷重 段階 n	圧力		圧密量 Δd (10^{-3}cm)	試料高さ h cm	平均試料高さ \bar{h} cm	圧縮ひずみ ϵ %	体積圧縮係数 m_v cm^3/kgf	体積比 f	間隙比 e	計 算 式
	p kgf/cm^2	Δp kgf/cm^2								
0	0.0	.4	20.1	2.0000	1.9900	1.0	2.53×10^2	2.781	1.781	$h_s = \frac{(m_s - m_r)}{G_s \cdot \rho_w \cdot A}$
1	.4	.4	15.4	1.9799	1.9722	.8	1.95×10^2	2.753	1.753	$h_s = \frac{h_{s-1} + h_s}{2}$
2	.8	.8	23.5	1.9645	1.9528	1.2	1.50×10^2	2.731	1.731	$\epsilon = \frac{\Delta d}{10\bar{h}}$
3	1.6	1.6	49.8	1.9410	1.9161	2.6	1.62×10^2	2.699	1.699	$m_v = \frac{\epsilon}{\Delta p} \cdot \frac{1}{100}$
4	3.2	3.2	94.4	1.8912	1.8440	5.1	1.60×10^2	2.630	1.630	$f = \frac{h}{h_s}$
5	6.4	6.4	106.0	1.7968	1.7438	6.1	9.50×10^3	2.498	1.498	$e = f - 1$
6	12.8	12.8	-36.1	1.6908	1.7269		$\times 10^3$	2.351	1.351	$S_{r_o} = \frac{G_s \cdot w_o}{c_o}$
7	0.4						$\times 10^2$	2.402	1.402	$\bar{p} = \frac{p_{n-1} + p_n}{2}$
8										法: $c_o = \frac{0.848(\frac{\bar{p}}{2})^2}{t_{90}} \times 1440$
9										$= \frac{305(\bar{h})^2}{t_{90}}$
										曲線定規法: $c_o = \frac{0.197(\frac{\bar{p}}{2})^2}{t_{50}} \times 1440$
										$= \frac{70.9(\bar{h})^2}{t_{50}}$
荷重 段階	圧力		t_{90} min	圧密係数 c_v cm^2/d	一次圧密量 $\Delta d'$ (10^{-3}cm)	一次圧密比 r	圧密係数の 補正值 c_v' cm^2/d	透水係数 k cm/s		
	p kgf/cm^2	\bar{p} kgf/cm^2								
0	0.0	.2	.73	1.66E+03	7.2	.358	5.93E+02	1.73×10^{-7}		$r = \frac{\Delta d'}{\Delta d}$
1	.4	.6	.67	1.77E+03	3.8	.247	4.37E+02	9.88×10^{-8}		$c_v' = r \cdot c_v$
2	.8	1.2	.52	2.24E+03	5.7	.243	5.43E+02	9.45×10^{-8}		$k = \frac{c_v' \cdot m_v \cdot \gamma_w}{8.64 \times 10^7}$
3	1.6	2.4	.82	1.37E+03	14.3	.287	3.92E+02	7.38×10^{-8}		
4	3.2	4.8	.75	1.38E+03	37.4	.396	5.48E+02	1.02×10^{-7}		
5	6.4	9.6	.83	1.12E+03	40.8	.385	4.30E+02	4.73×10^{-8}		
6	12.8							$\times 10^{-7}$		
7								$\times 10^{-7}$		備考
8										※規格には含まれない。
9										圧縮指数 C_c
										圧密降 伏応力 p_c kgf/cm^2

調査名・調査地点 稲毛海浜公園地質調査委託

試験年月日 60年9月27日

試験者

試料番号	採取深さ	液性限界 w_L %	初期体積比 f_0	初期間隙比 e_0	圧縮指数 C_c	圧密降伏応力 P_c kgf/cm ²	記号
No. 2	12.00m ~ 12.80m			1.390	0.209	2.02	⊙
No.	m ~ m						
No.	m ~ m						
No.	m ~ m						



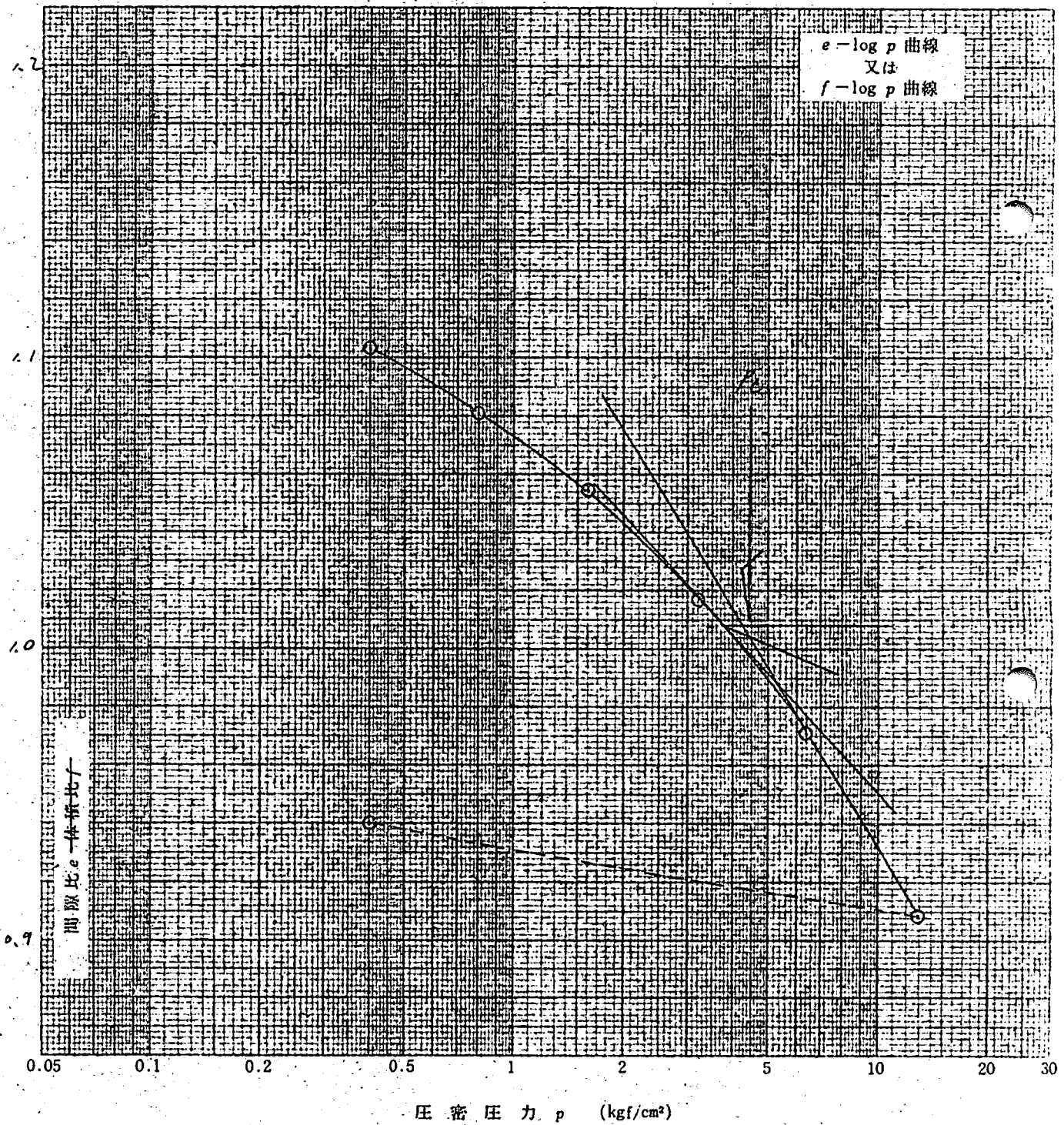
備考

調査名・調査地点 稲毛海岸公園地質調査委託

試験年月日 60年9月27日

試験者

試料番号	採取深さ	液性限界 w_L %	初期体積比 f_0	初期間隙比 e_0	圧縮指数 C_c	圧密降伏応力 P_c kgf/cm ²	記号
Na 2	17.00m~17.80m			1.131	0.205	2.24	○
Na	m~m						
Na	m~m						
Na	m~m						



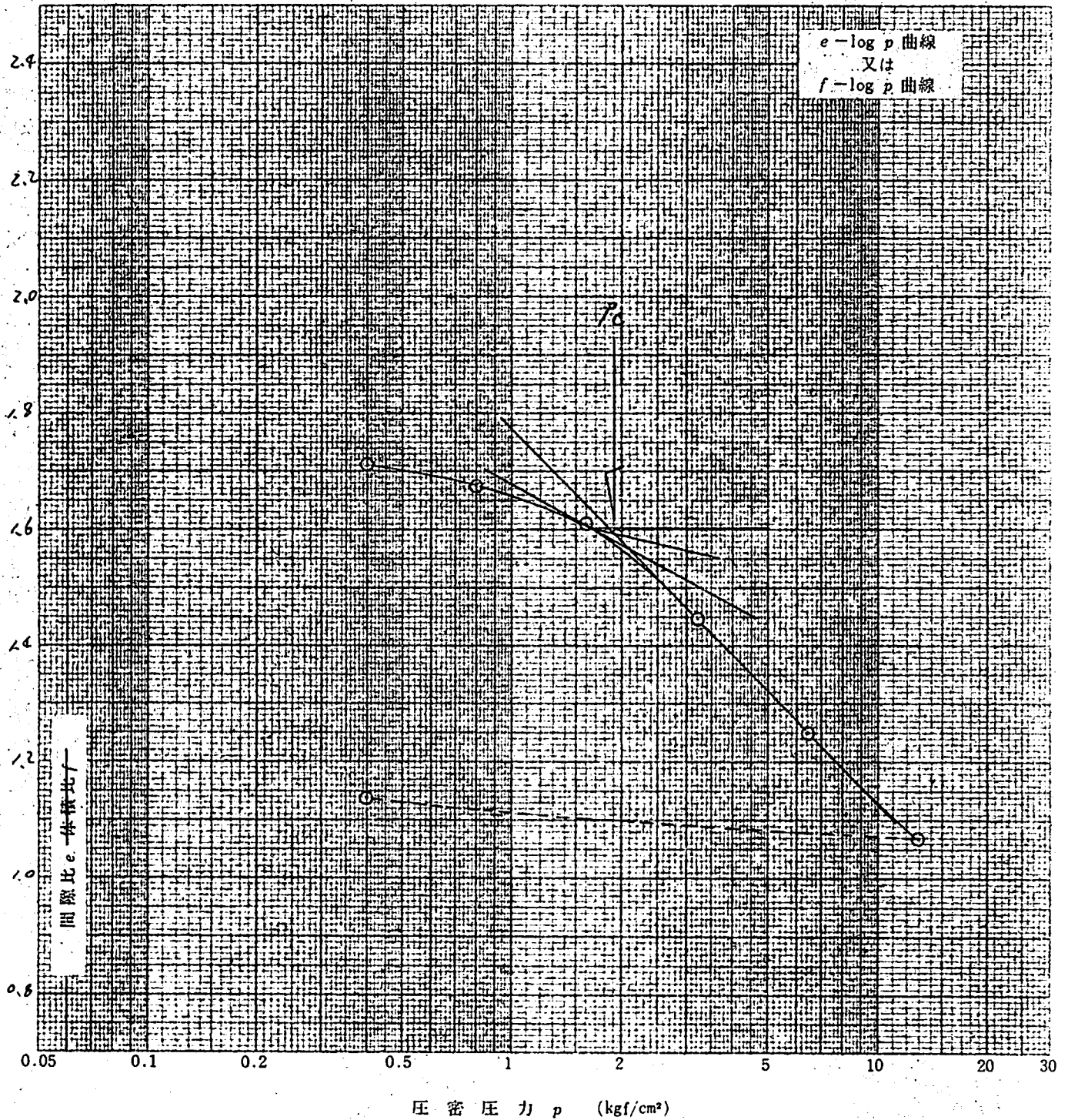
備考

調査名・調査地点 稲毛海浜公園地質調査委託

試験年月日 80年9月27日

試験者

試料番号	採取深さ	液性限界 w_L %	初期体積比 f_0	初期間隙比 e_0	圧縮指数 C_c	圧密降伏応力 P_c kgf/cm ²	記号
Na 2	21.00m ~ 21.80m			1.764	0.627	1.90	○
Na	m ~ m						
Na	m ~ m						
Na	m ~ m						



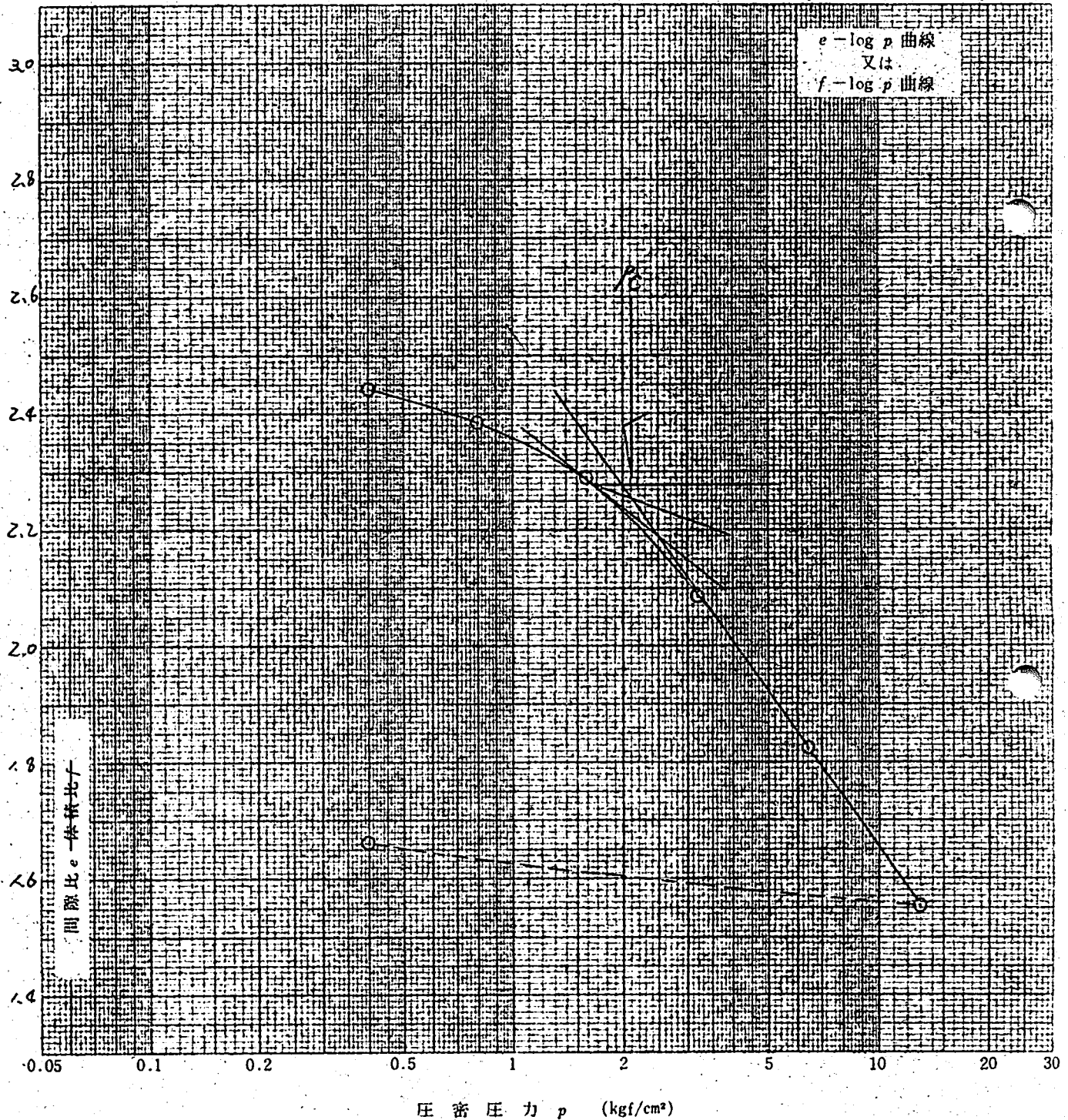
備考

調査名・調査地点 稲毛海浜公園地質調査委託

試験年月日 60年9月27日

試験者

試料番号	採取深さ	液性限界 w_L %	初期体積比 f_0	初期間隙比 e_0	圧縮指数 C_c	圧密降伏応力 P_c kgf/cm ²	記号
Na 2	31.00 m ~ 31.80 m			2.510	0.885	2.11	○
Na	m ~ m						
Na	m ~ m						
Na	m ~ m						



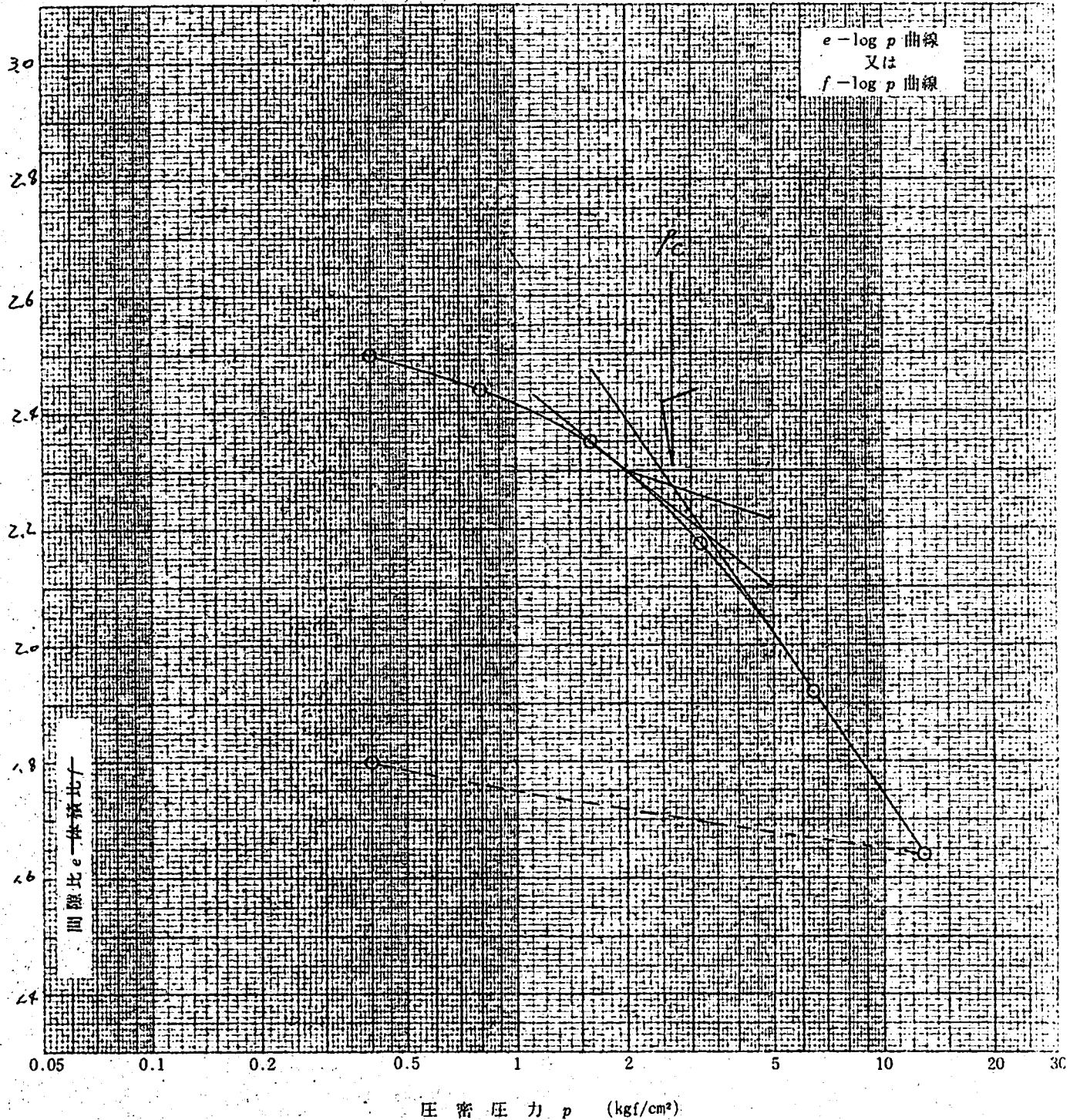
備考

調査名・調査地点 船毛海浜公園地質調査委託

試験年月日 60年9月27日

試験者

試料番号	採取深さ	液性限界 w_L %	初期体積比 f_0	初期間隙比 e_0	圧縮指数 C_c	圧密降伏応力 P_c kgf/cm ²	記号
Na Z	35.00m ~ 38.80m			2.587	0.922	2.66	○
Na	m ~ m						
Na	m ~ m						
Na	m ~ m						



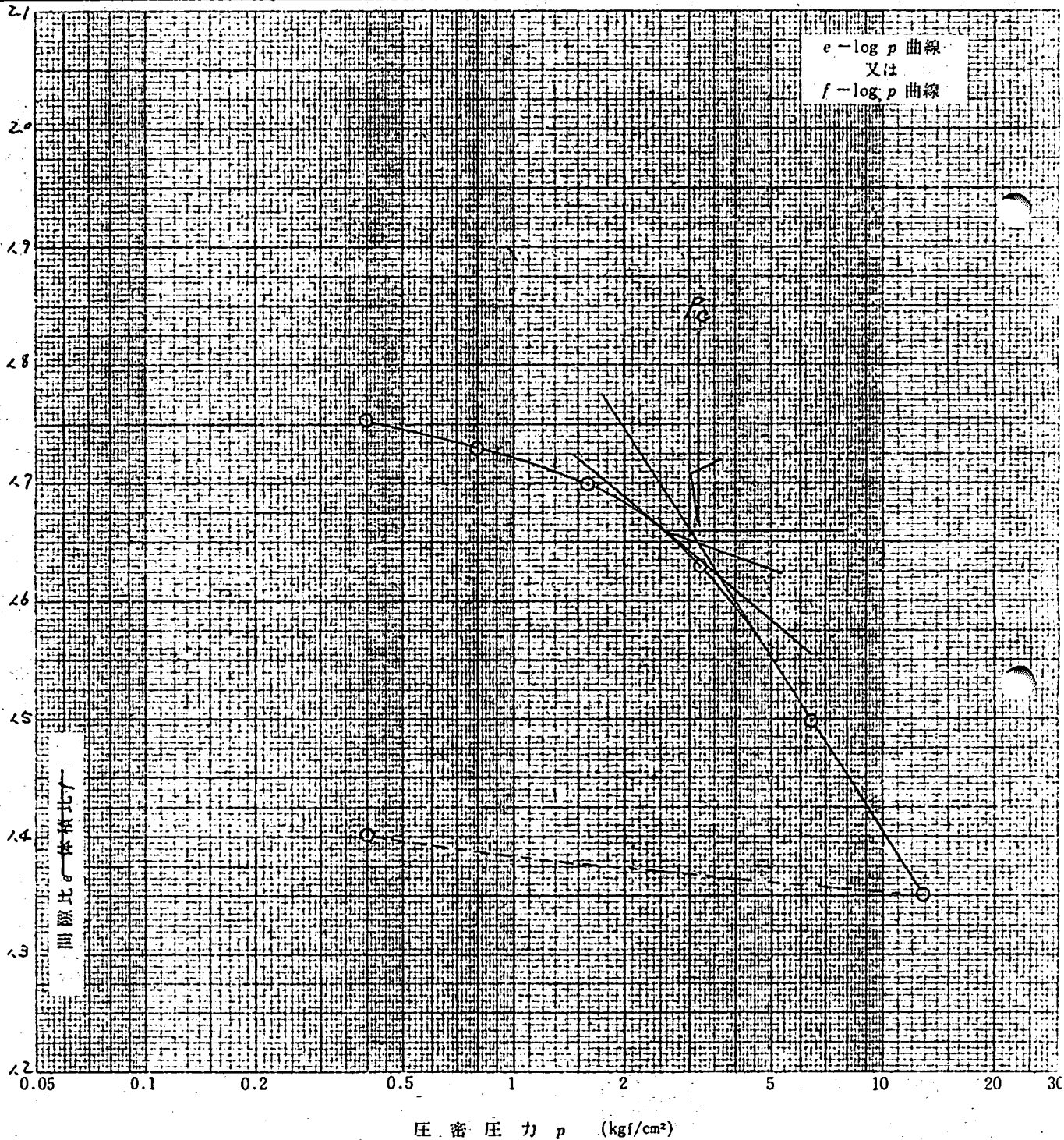
備考

調査名・調査地点 稲毛海浜公園地質調査委託

試験年月日 60年 9月 27日

試験者

試料番号	採取深さ	液性限界 w_L %	初期体積比 f_0	初期間隙比 e_0	圧縮指数 C_c	圧密降伏応力 p_c kgf/cm ²	記号
Na 2	39.00 m ~ 39.80 m			1.781	0.487	3.17	○
Na	m ~ m						
Na	m ~ m						
Na	m ~ m						



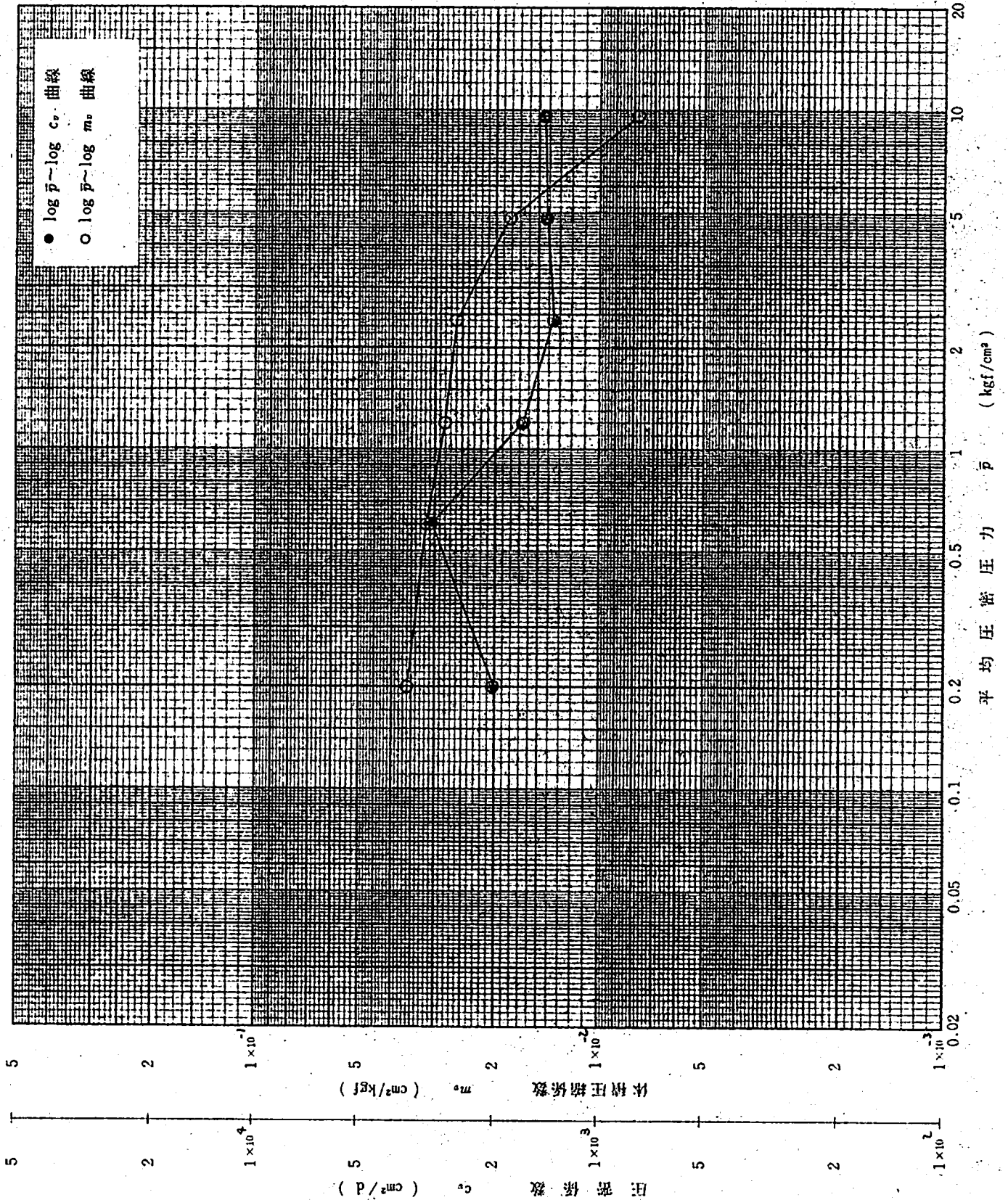
備考

調査名・調査地点 稲毛海浜公園地質調査委託

試験年月日 60年9月27日

試料番号・深さ: No. 2 (12.00m~12.80m)

試験者

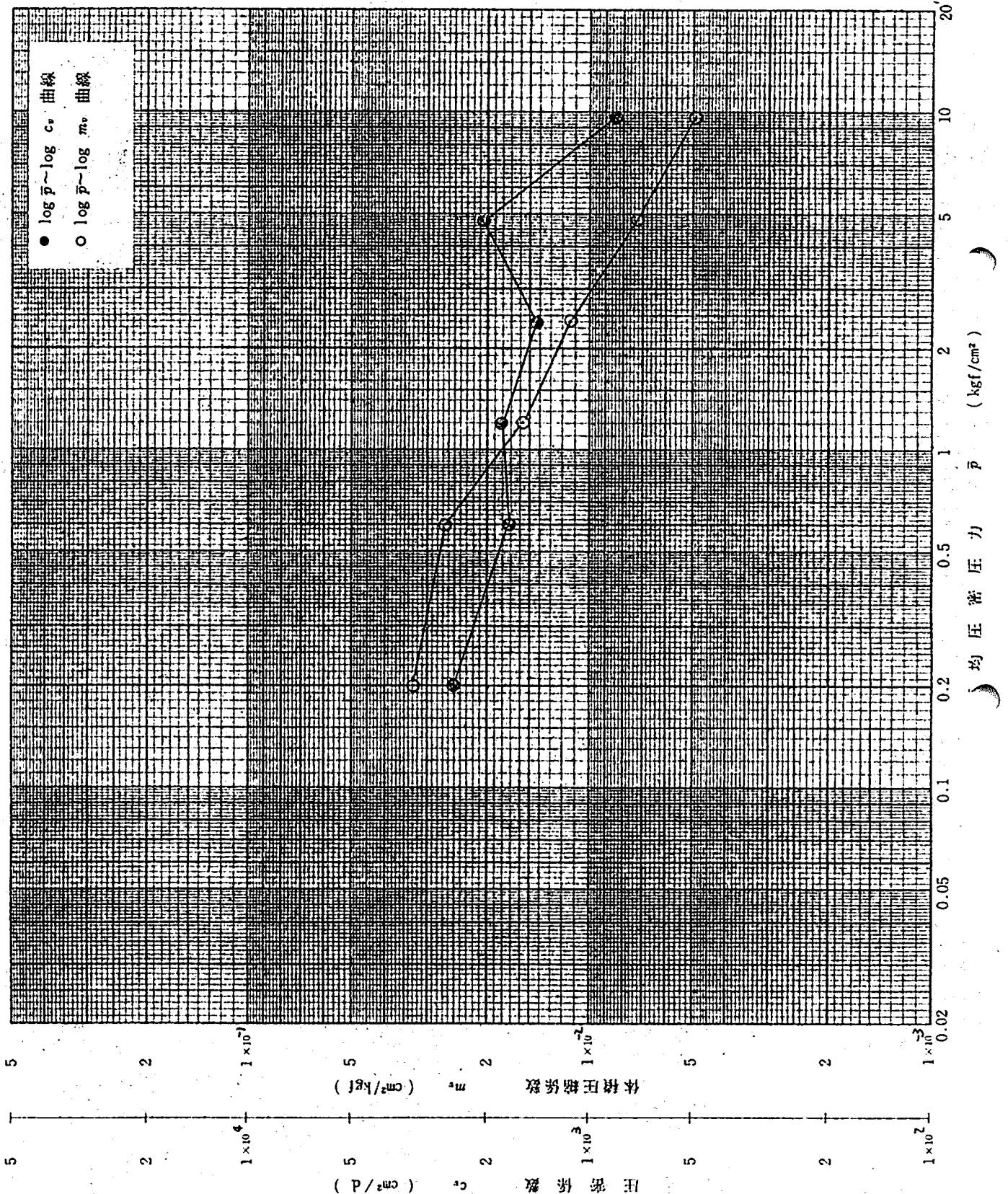


調査名・調査地点 稲毛海浜公園地質調査委託

試験年月日 60年 9月 27日

試料番号・深さ: No. 2 (17.00 m ~ 17.90 m)

試験者

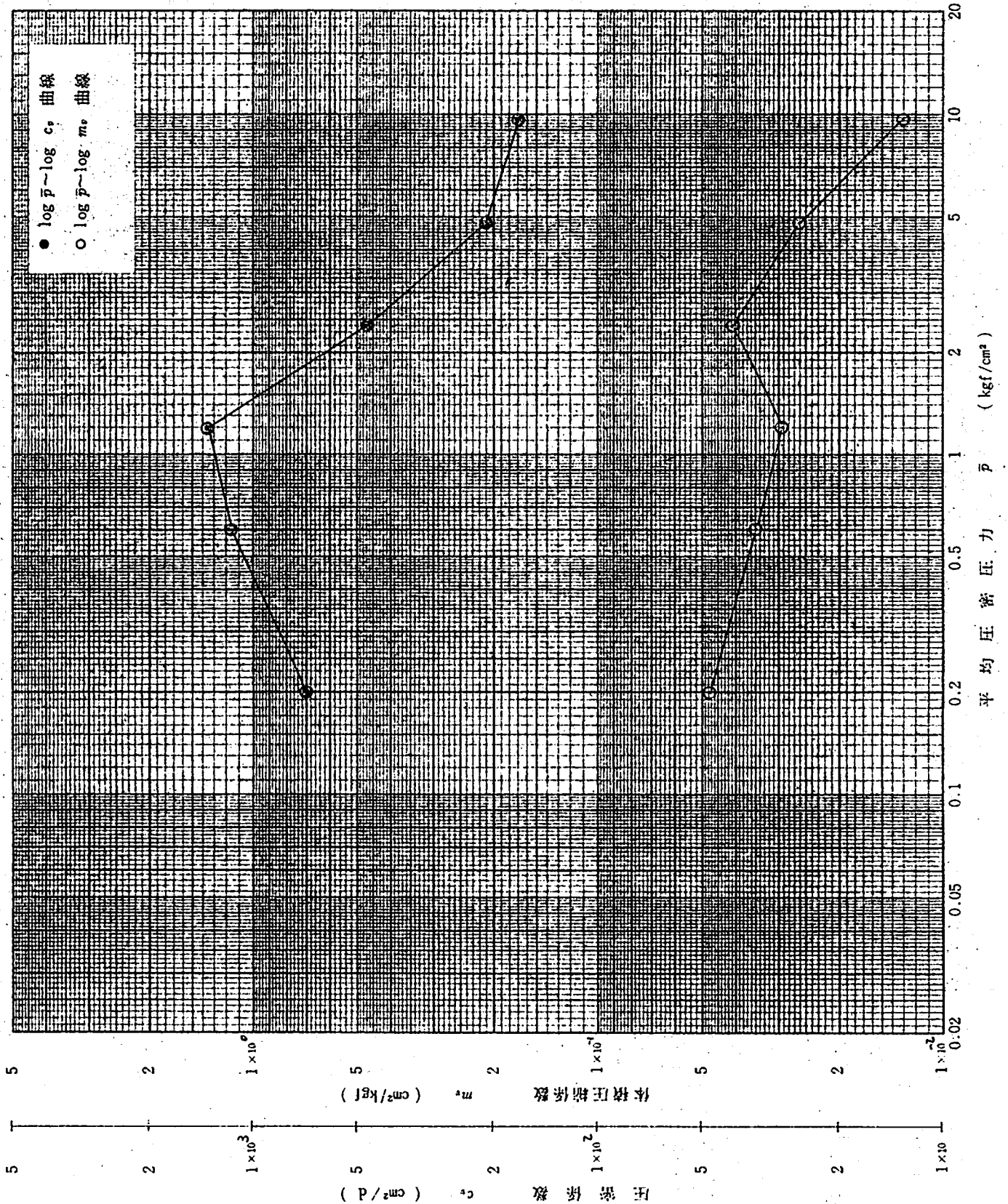


調査名・調査地点 稲毛海浜公園地質調査委託

試験年月日 60年9月27日

試料番号・深さ: No. 2 (21.00 m ~ 21.80 m)

試験者

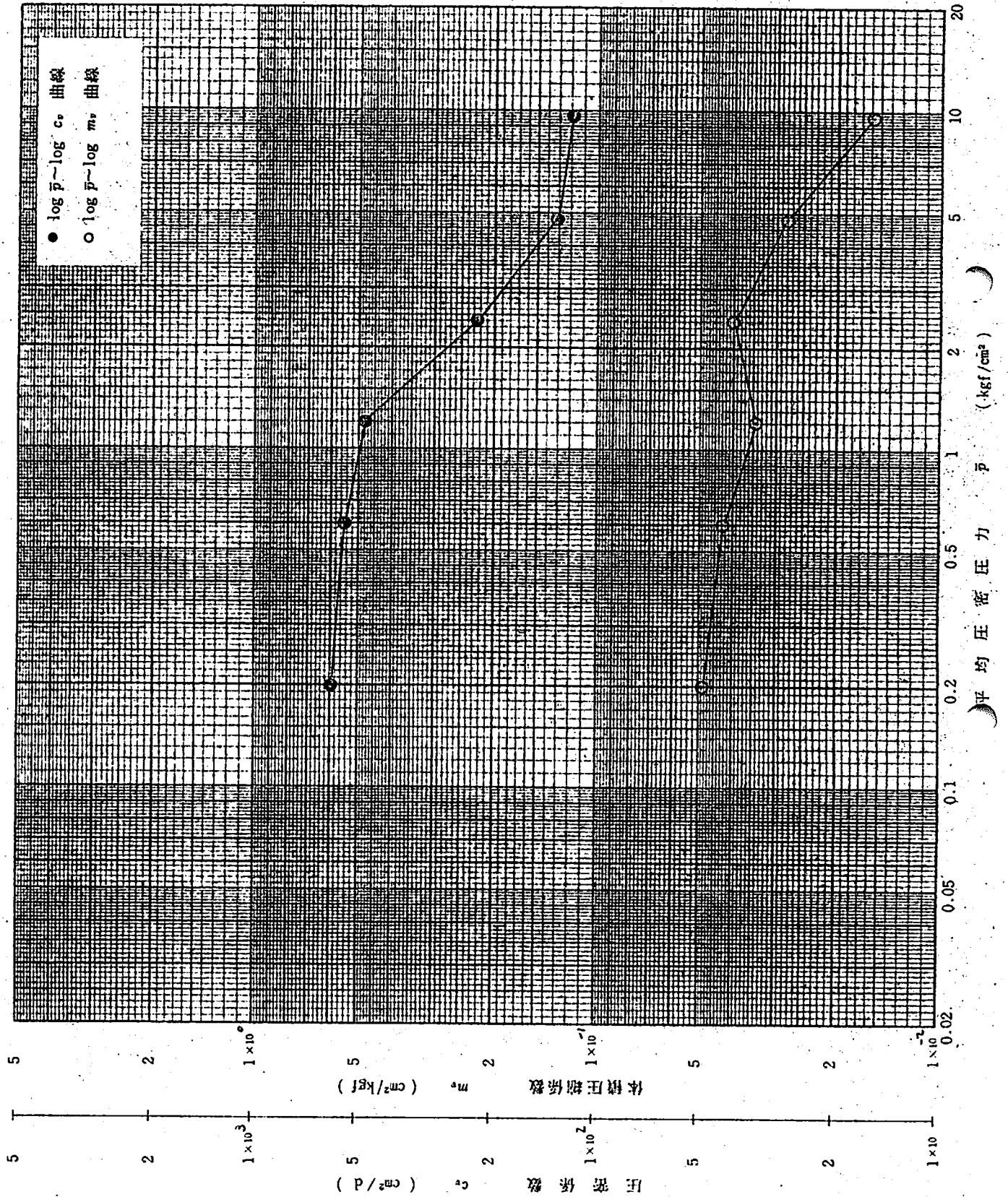


調査名・調査地点 稲毛海浜公園地質調査委託

試験年月日 60年9月27日

試料番号・深さ: No. 2 (31.00 m ~ 31.80 m)

試験者

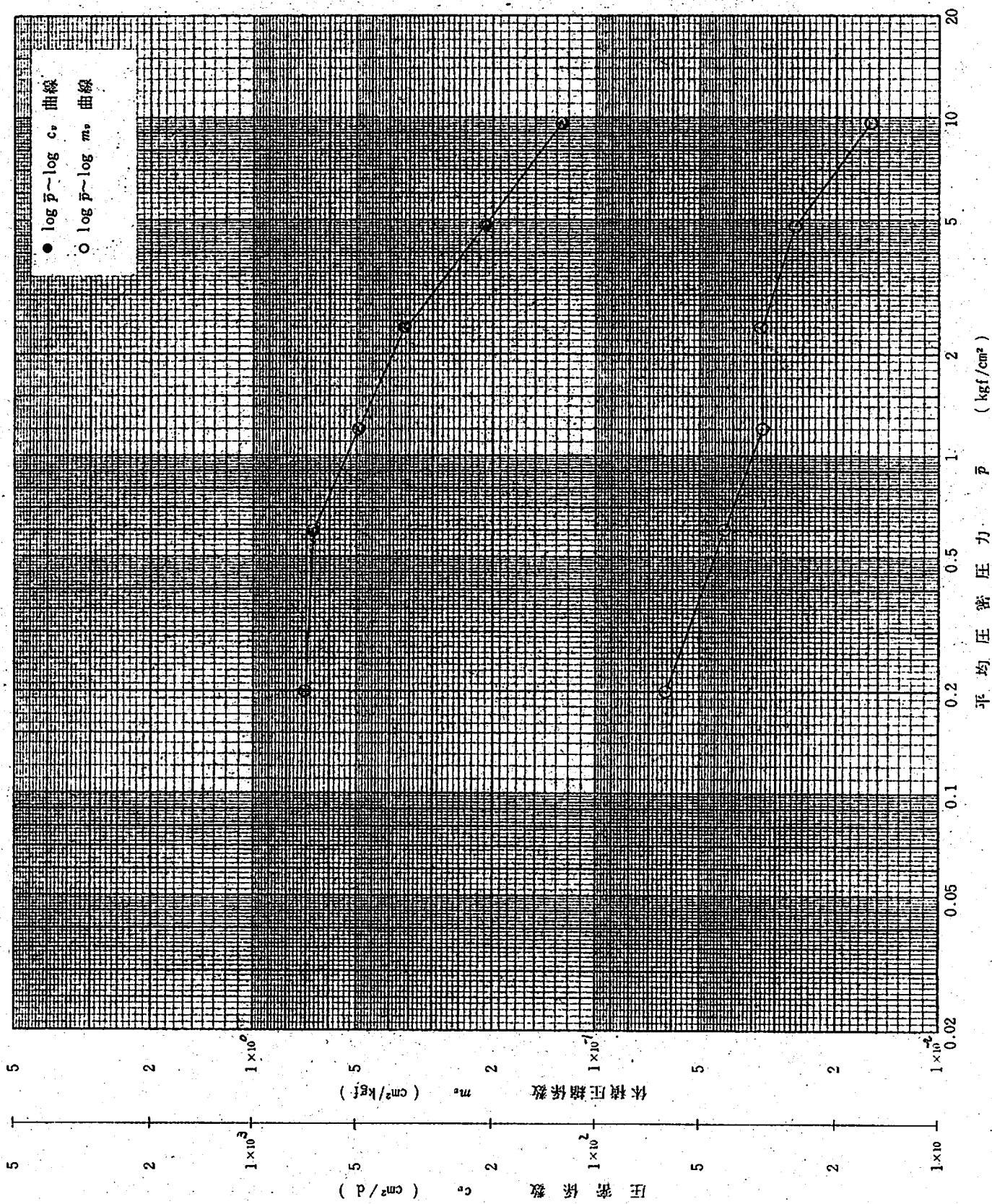


調査名・調査地点 稲毛海浜公園地質調査委託

試験年月日 60年 9月 27日

試料番号・深さ: No. 2 (35.00 m ~ 35.80 m)

試験者

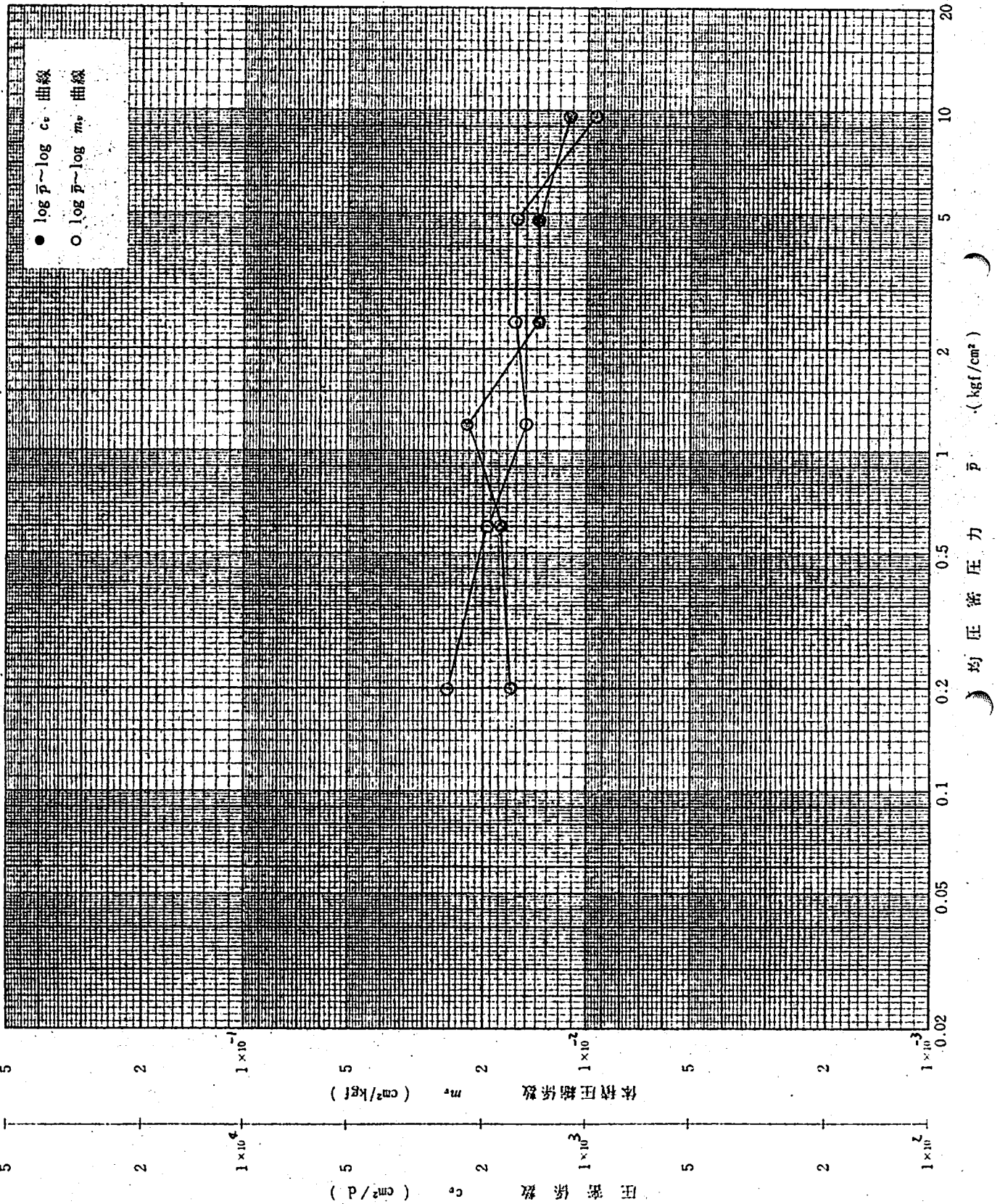


調査名・調査地点 稲毛海浜公園地質調査委託

試験年月日 60年9月27日

試料番号・深さ: No. 2 (39.00 m ~ 39.10 m)

試験者

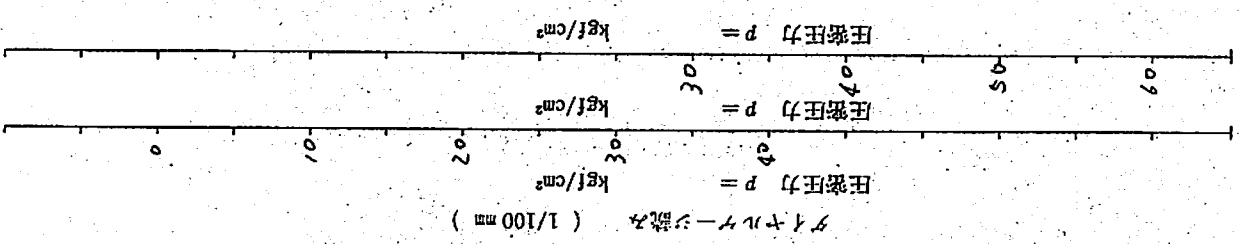
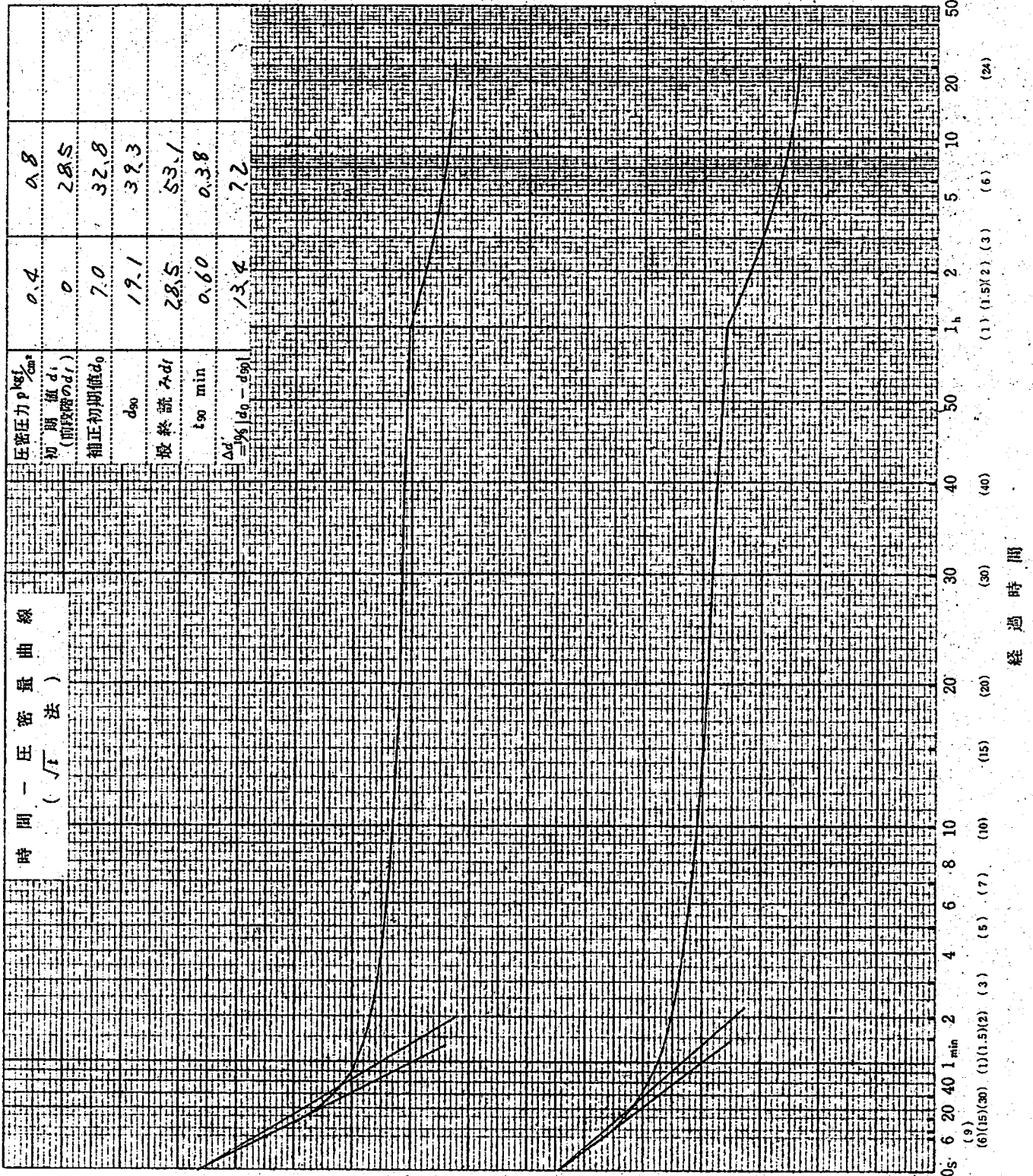


調査名・調査地点 稲毛海浜公園地質調査委託

試験年月日 60年9月27日

試料番号・深さ: No. 2 (12.00m~12.80m)

試験者



経過時間

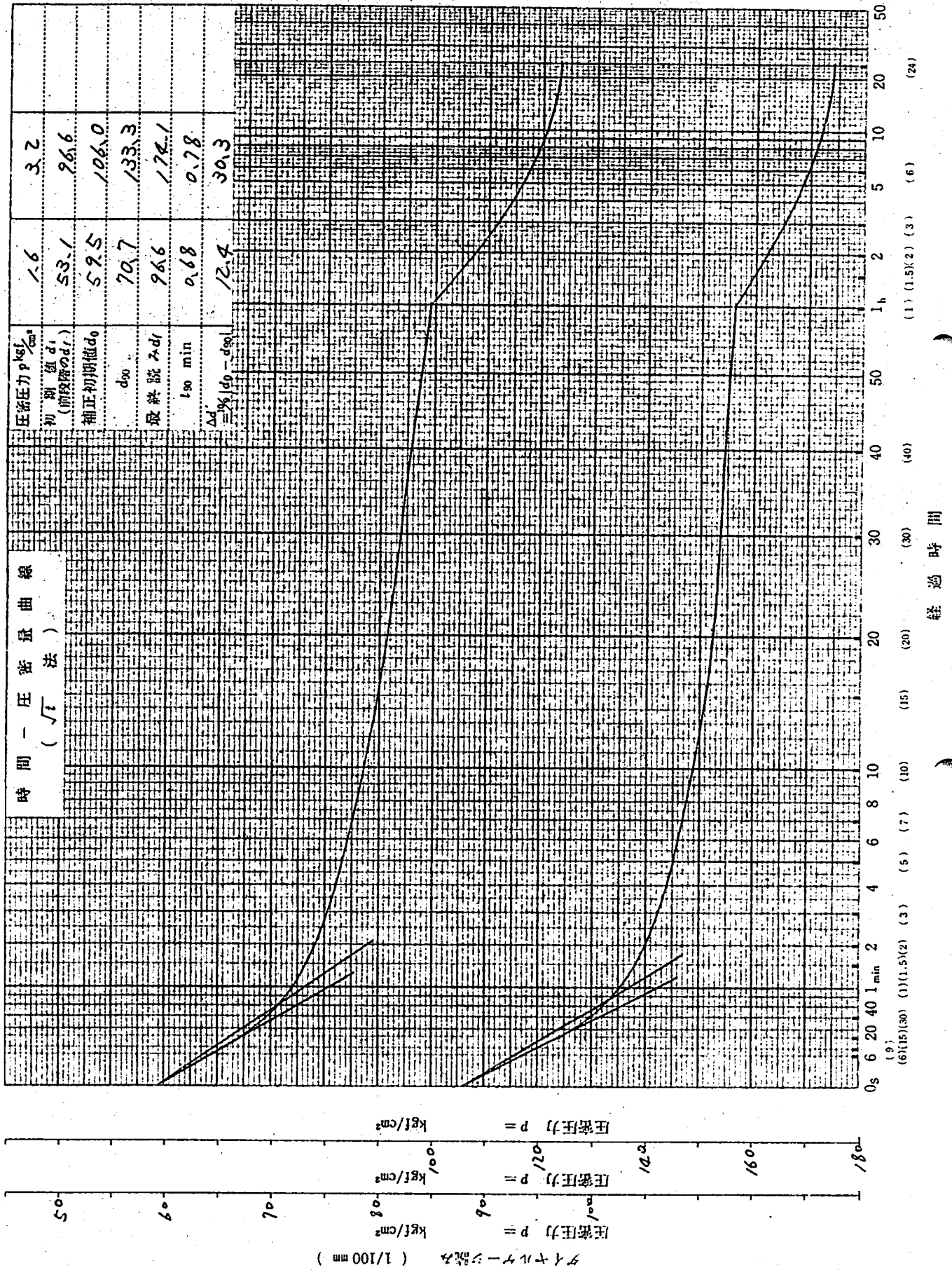
調査名・調査地点 稲毛海浜公園地質調査委託

試験年月日 60年9月27日

試料番号・深さ: No. 2

(12.00 m ~ 12.80 m)

試験者

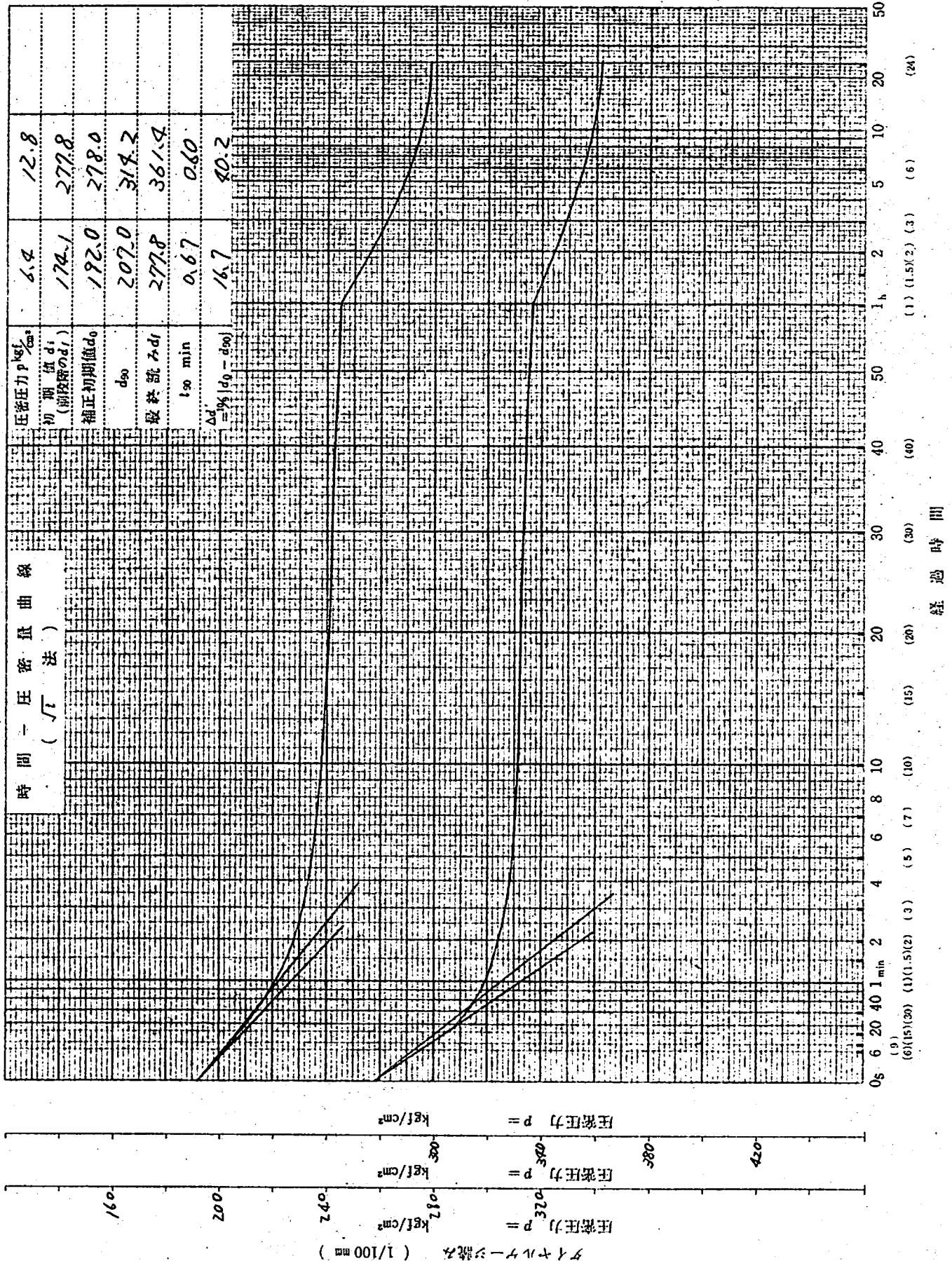


調査名・調査地点 稲毛海浜公園地質調査委託

試験年月日 60年 9月 27日

試料番号・深さ: No. 2 (12.00m~12.80m)

試験者

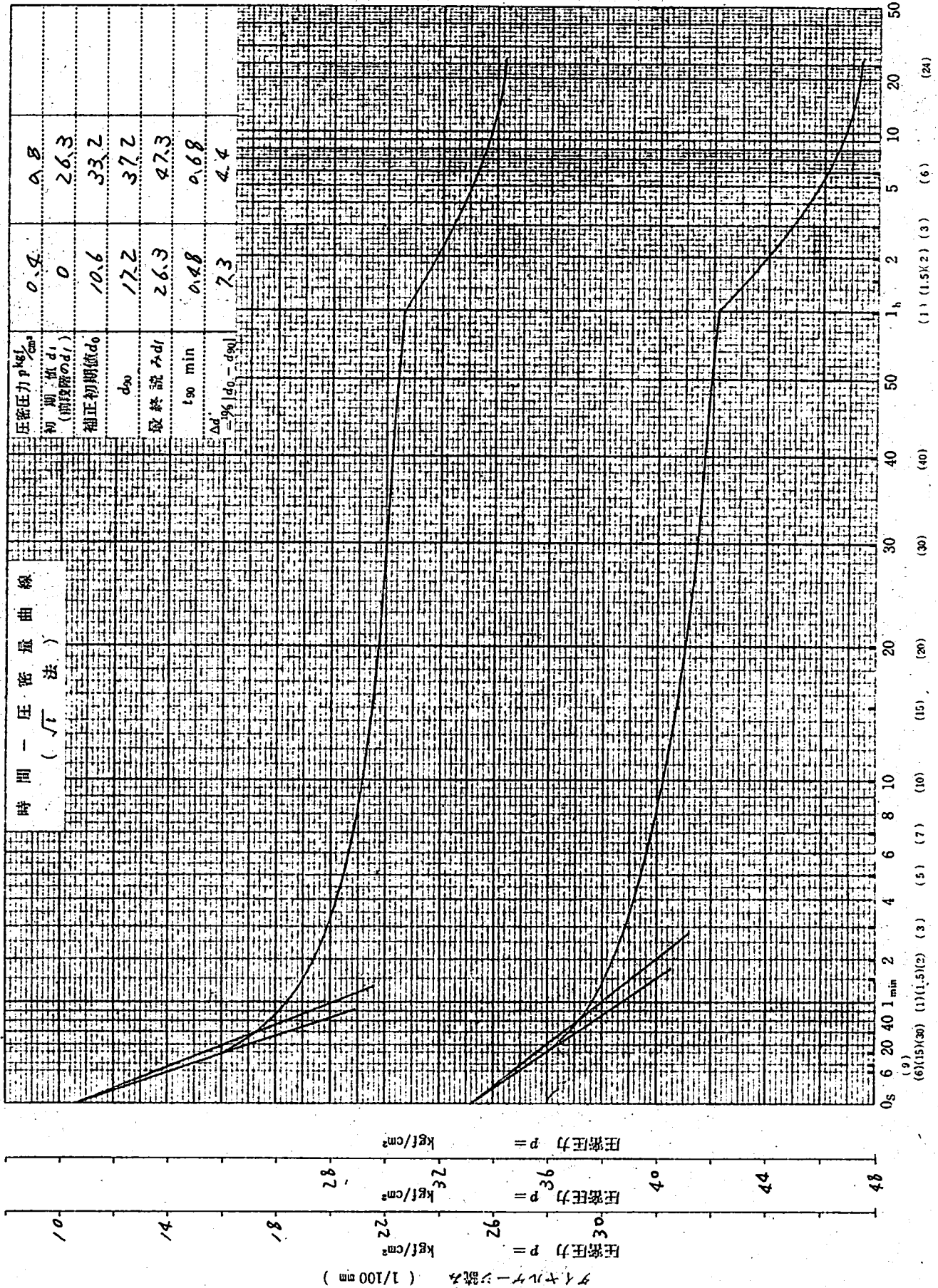


調査名・調査地点 稲毛海浜公園地質調査委託

試験年月日 60年 9月 27日

試料番号・深さ: No. 2 (1200 m ~ 1280 m)

試験者



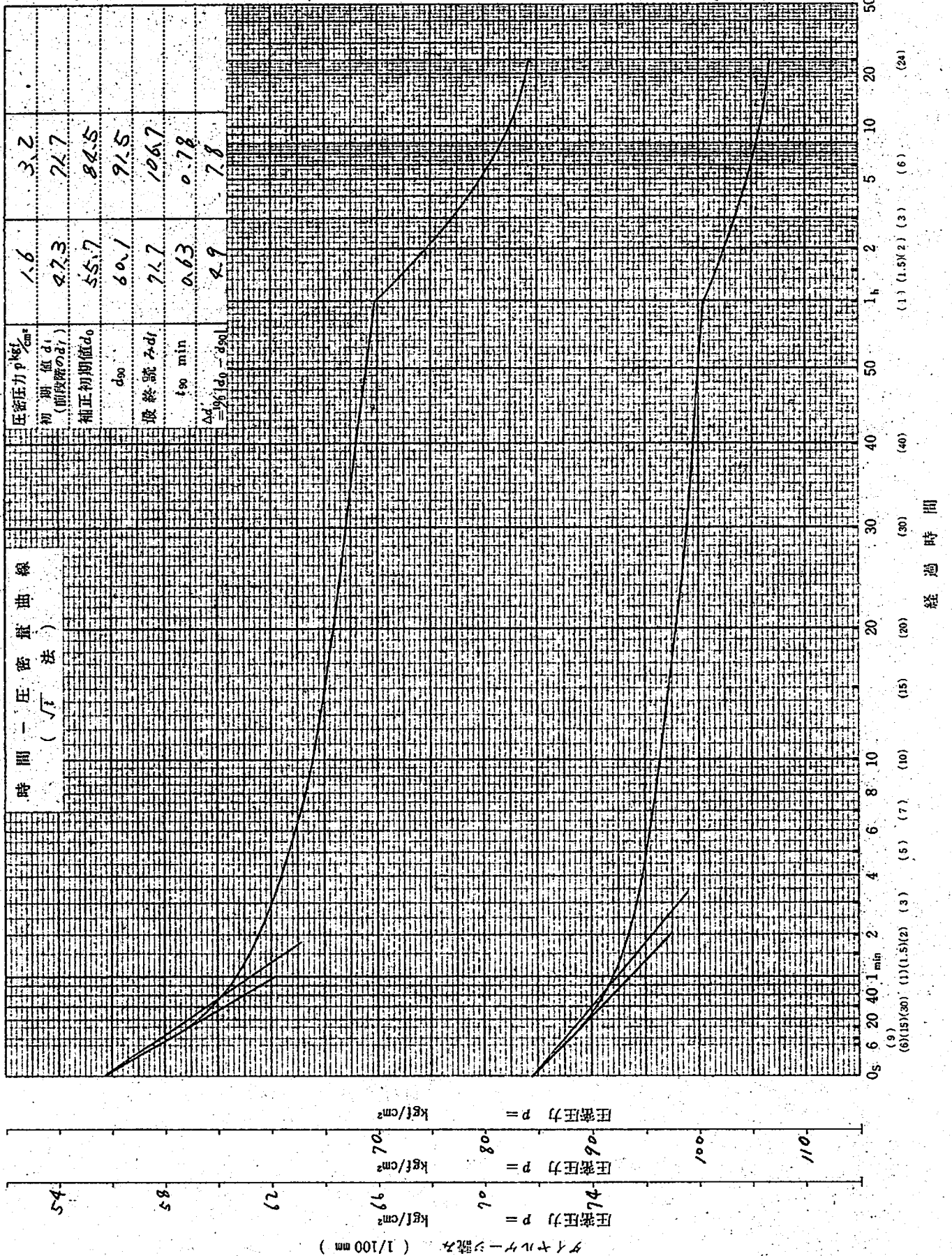
経過時間 (9) (6)(15)(30) (11)(1.5)(2) (3) (5) (7) (10) (15) (20) (30) (40) (60) (24)

調査名・調査地点 稲毛海浜公園地質調査委託

試験年月日 60年9月27日

試料番号・深さ: No. 2 (1700 m ~ 1780 m)

試験者

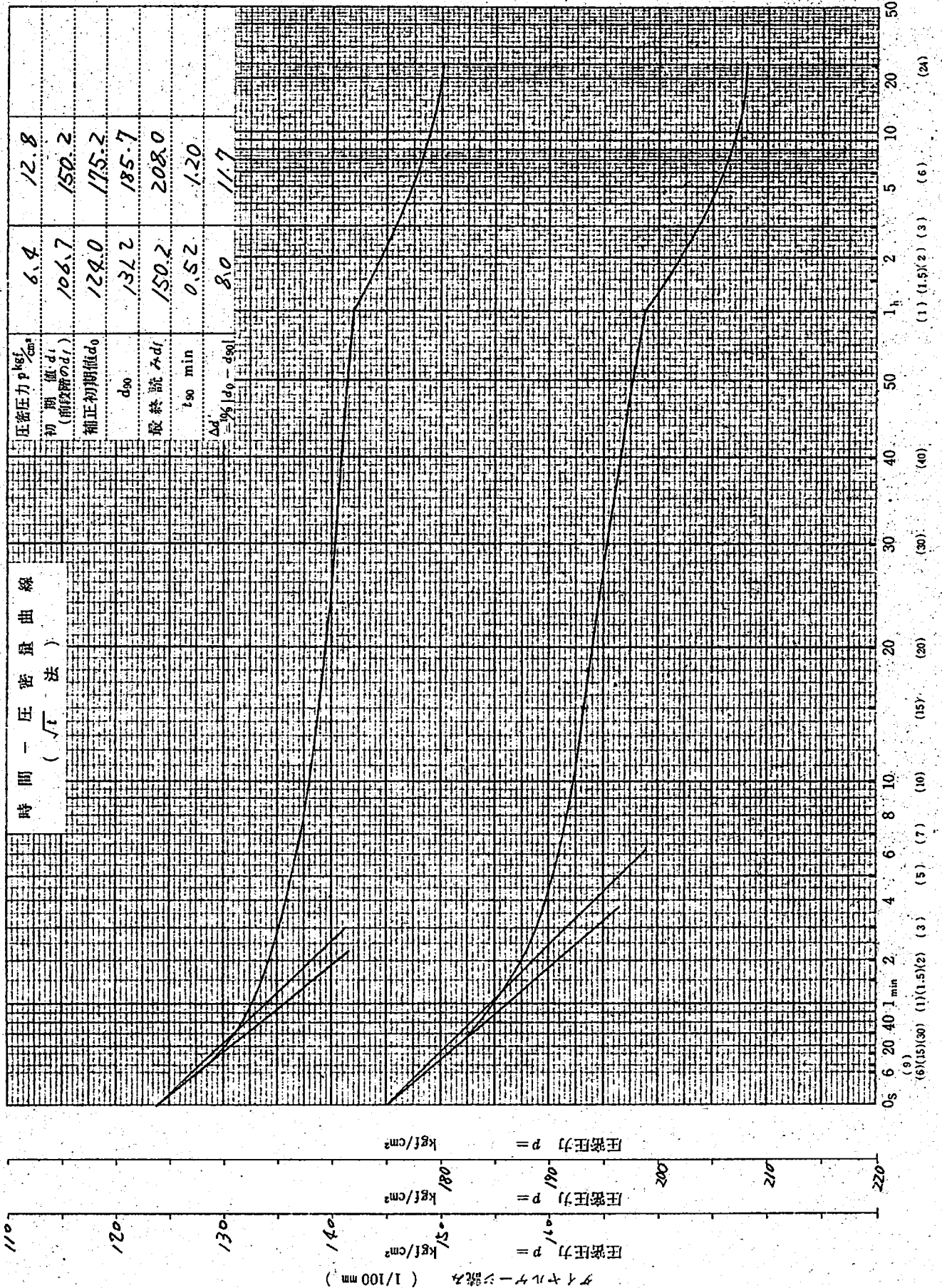


調査名・調査地点 稲毛海浜公園地質調査委託

試験年月日 60年9月27日

試料番号・深さ: No. 2 (17.00m~17.80m)

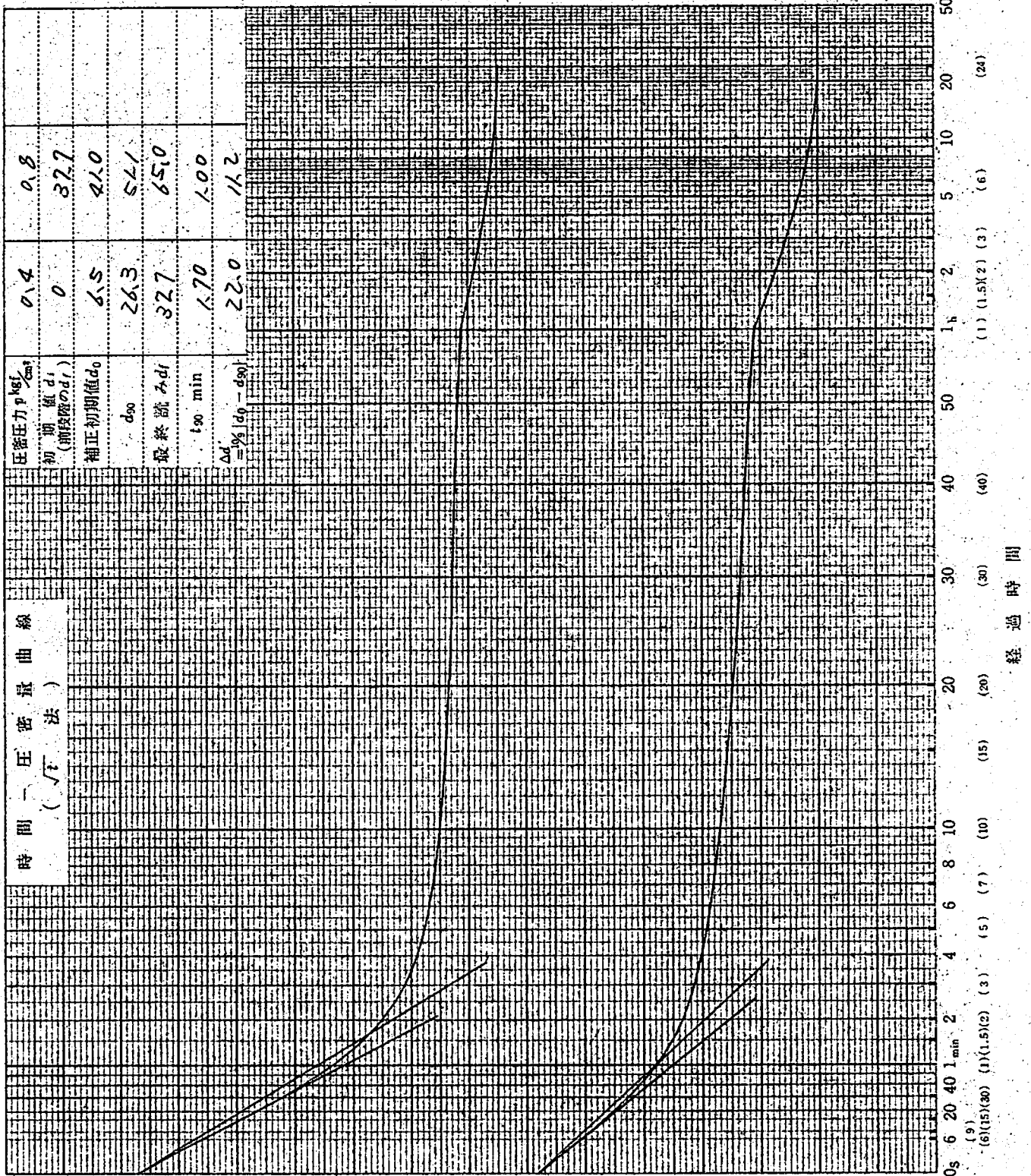
試験者



経過時間

調査名・調査地点 稲毛海浜公園地質調査委託 試験年月日 60年9月27日

試料番号・深さ: No. 2 (21.00 m ~ 21.80 m) 試験者



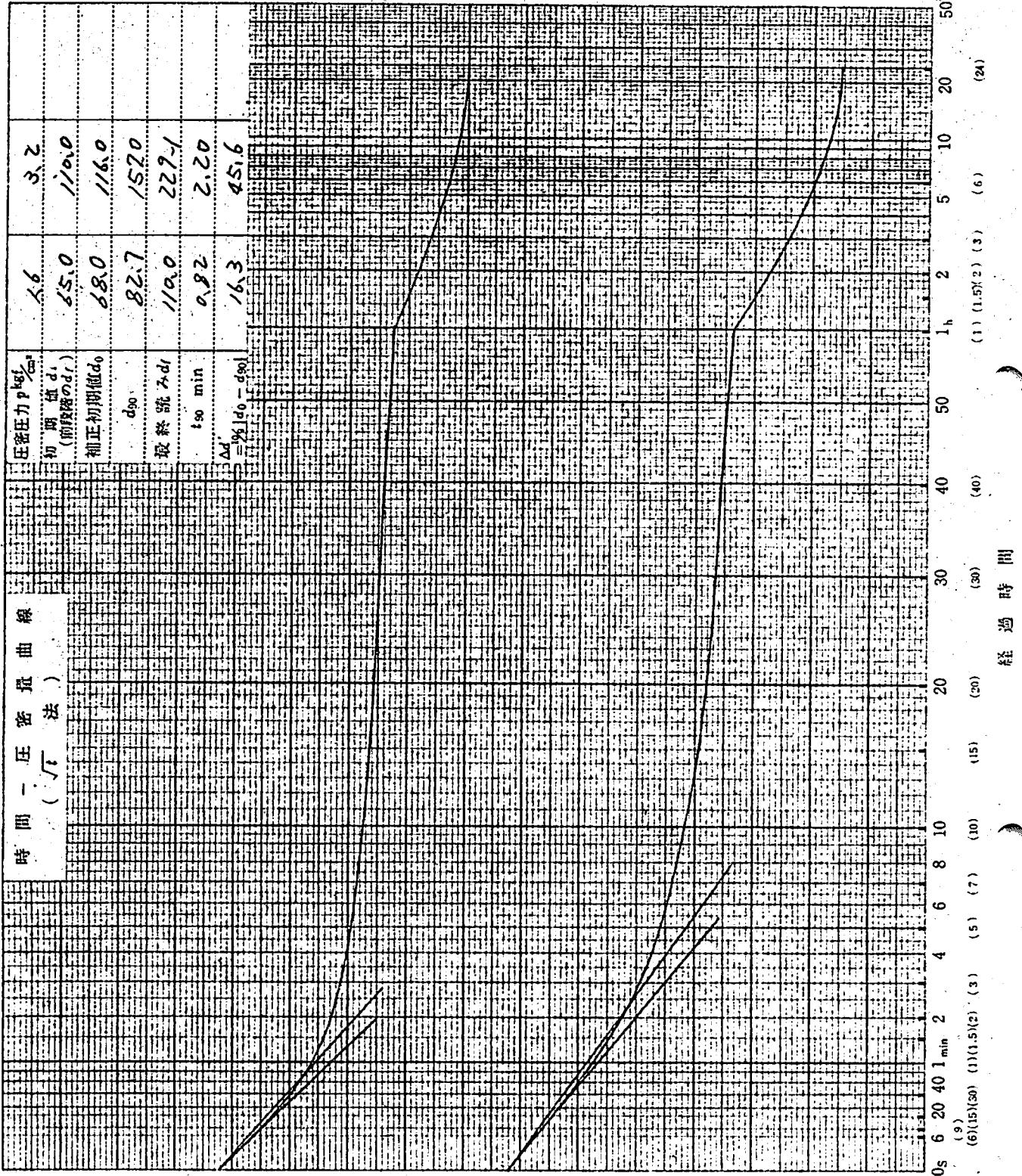
圧密圧力 $p =$	70	60	50	40	30	20	10	0
圧密圧力 $p =$	kgf/cm ²	kgf/cm ²	kgf/cm ²	kgf/cm ²	kgf/cm ²	kgf/cm ²	kgf/cm ²	kgf/cm ²
圧密圧力 $p =$	1/100 mm	1/100 mm	1/100 mm	1/100 mm	1/100 mm	1/100 mm	1/100 mm	1/100 mm

調査名・調査地点 釧毛海浜公園地質調査委託

試験年月日 60年9月27日

試料番号・深さ: No. 2 (21.00 m ~ 21.80 m)

試験者



圧密圧力 $p =$	240
圧密圧力 $p =$	200
圧密圧力 $p =$	120
圧密圧力 $p =$	80
圧密圧力 $p =$	40

時間-圧密曲線 (\sqrt{t} 法)

圧密圧力 p kgf/cm^2	3.2
初期値 d_i (前段階の d_i)	110.0
修正初期値 d_{00}	116.0
d_{90}	152.0
最終読み d_f	229.1
t_{90} min	2.20
$\Delta d = \% d_{90} - d_{00} $	45.6

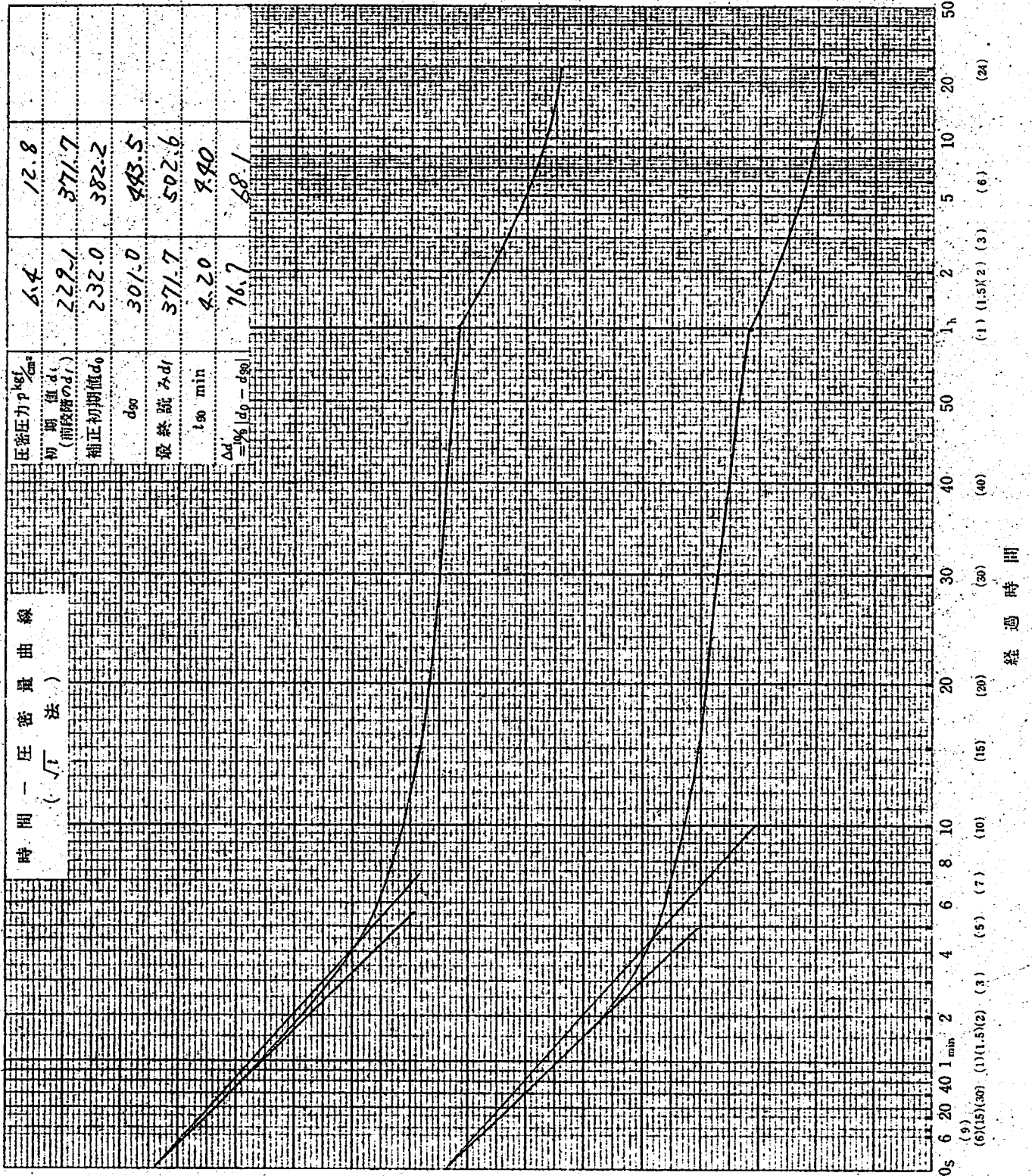
経過時間 (9) (6)(15)(30) (1)(1.5)(2) (3) (5) (7) (10) (15) (20) (30) (40) (40) (6) (24)

調査名・調査地点 稲毛海浜公園地質調査委託

試験年月日 60年9月27日

試料番号・深さ: No. 2 (2.00 m - 2.80 m)

試験者



時間-圧密曲線 (\sqrt{t} 法)

圧密圧力 $p = 500$ kgf/cm²

圧密圧力 $p = 400$ kgf/cm²

圧密圧力 $p = 300$ kgf/cm²

圧密圧力 $p = 200$ kgf/cm²

圧密圧力 $p = 100$ kgf/cm²

経過時間 (min)

0.5 6 20 40 1 min 2 4 (5) (7) (10) (15) (20) (30) 50

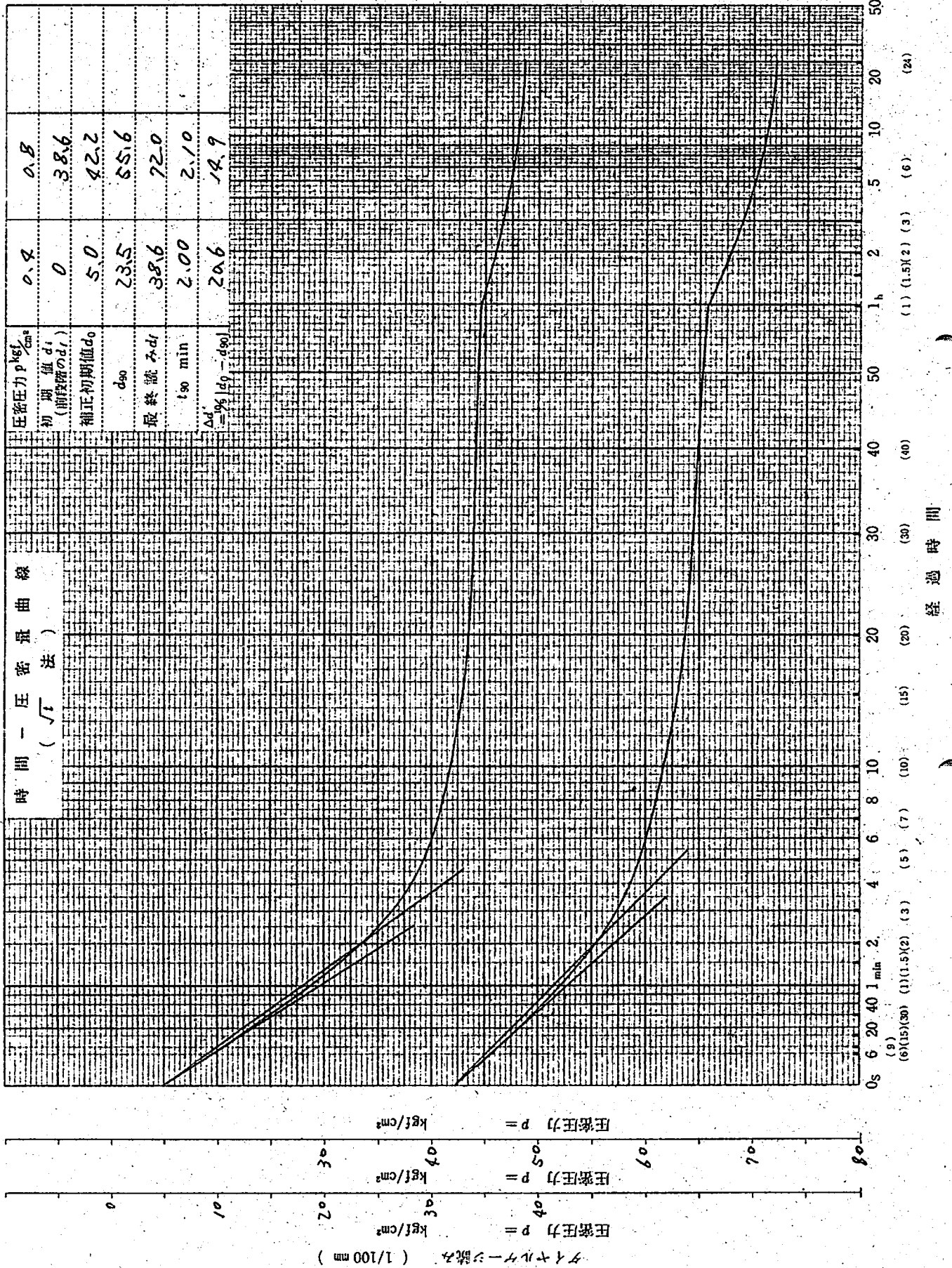
(6) (15)(30) (1)(1.5)(2) (3) (5) (7) (10) (15) (20) (30) (40) (50) (60)

調査名・調査地点 船毛海浜公園地質調査委託

試験年月日 60年9月27日

試料番号・深さ: No. 2 (31.00 m ~ 31.80 m)

試験者



タイヤルターシ読み (1/100 mm)
 圧密圧力 $p =$ kgf/cm²
 圧密圧力 $p =$ kgf/cm²
 圧密圧力 $p =$ kgf/cm²

時間-圧密曲線
 (\sqrt{t} 法)

圧密圧力 p kgf/cm ²	0.8	0.8
初期値 d_i (前段階の d_i)	0	0
補正初期値 d_0	5.0	5.0
d_{90}	23.5	23.5
最終読み d_f	38.6	38.6
150 min	2.00	2.10
Δd = $\frac{100}{d_0} d_0 - d_{90} $	20.6	14.9

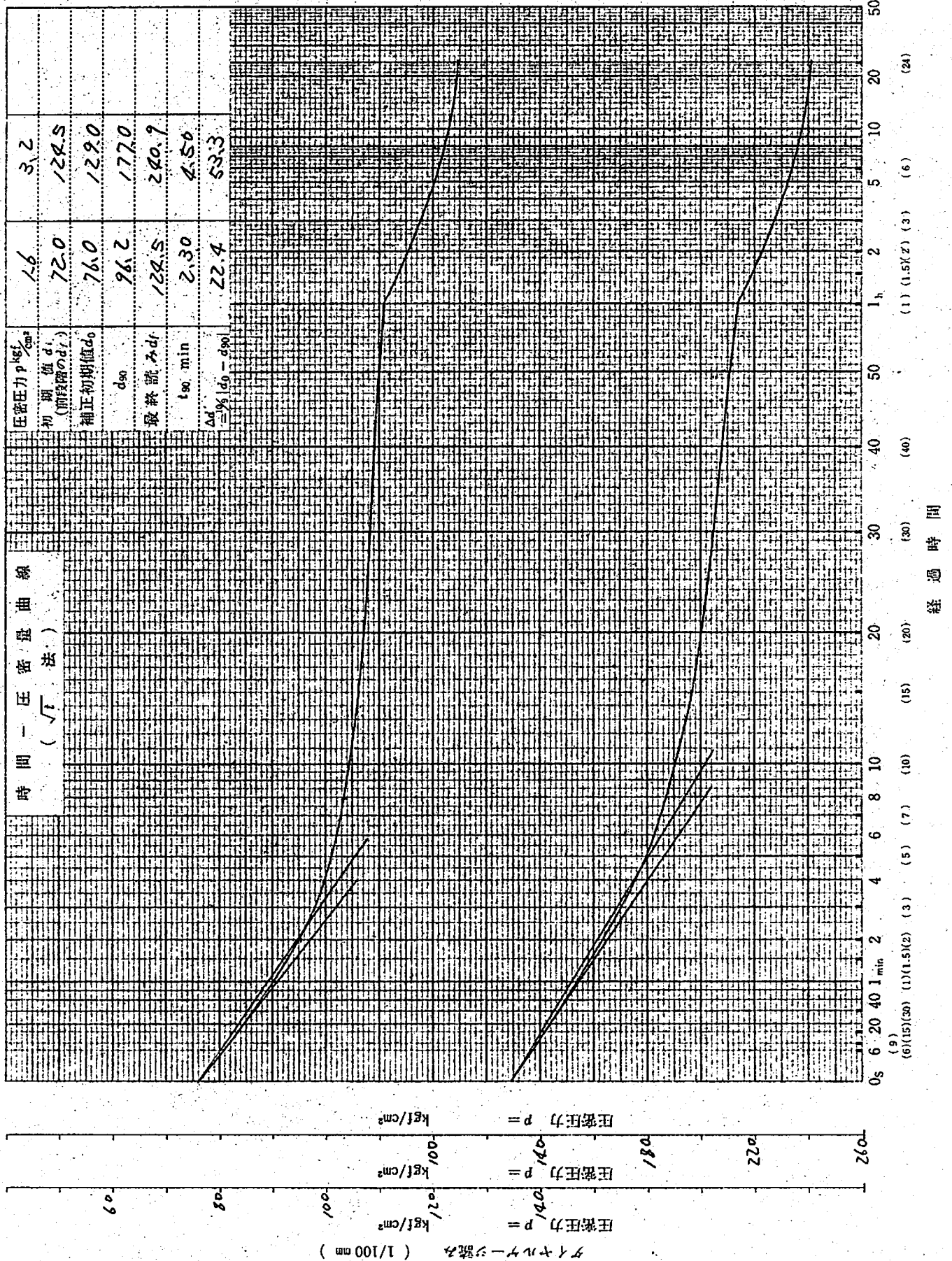
経過時間
 (9) (15) (30) (45) (60) (75) (90) (105) (120) (135) (150) (165) (180) (195) (210) (225) (240)

調査名・調査地点 稲毛海浜公園地質調査委託

試験年月日 10年 9月 27日

試料番号・深さ: No. 2 (3.00 m ~ 3.80 m)

試験者

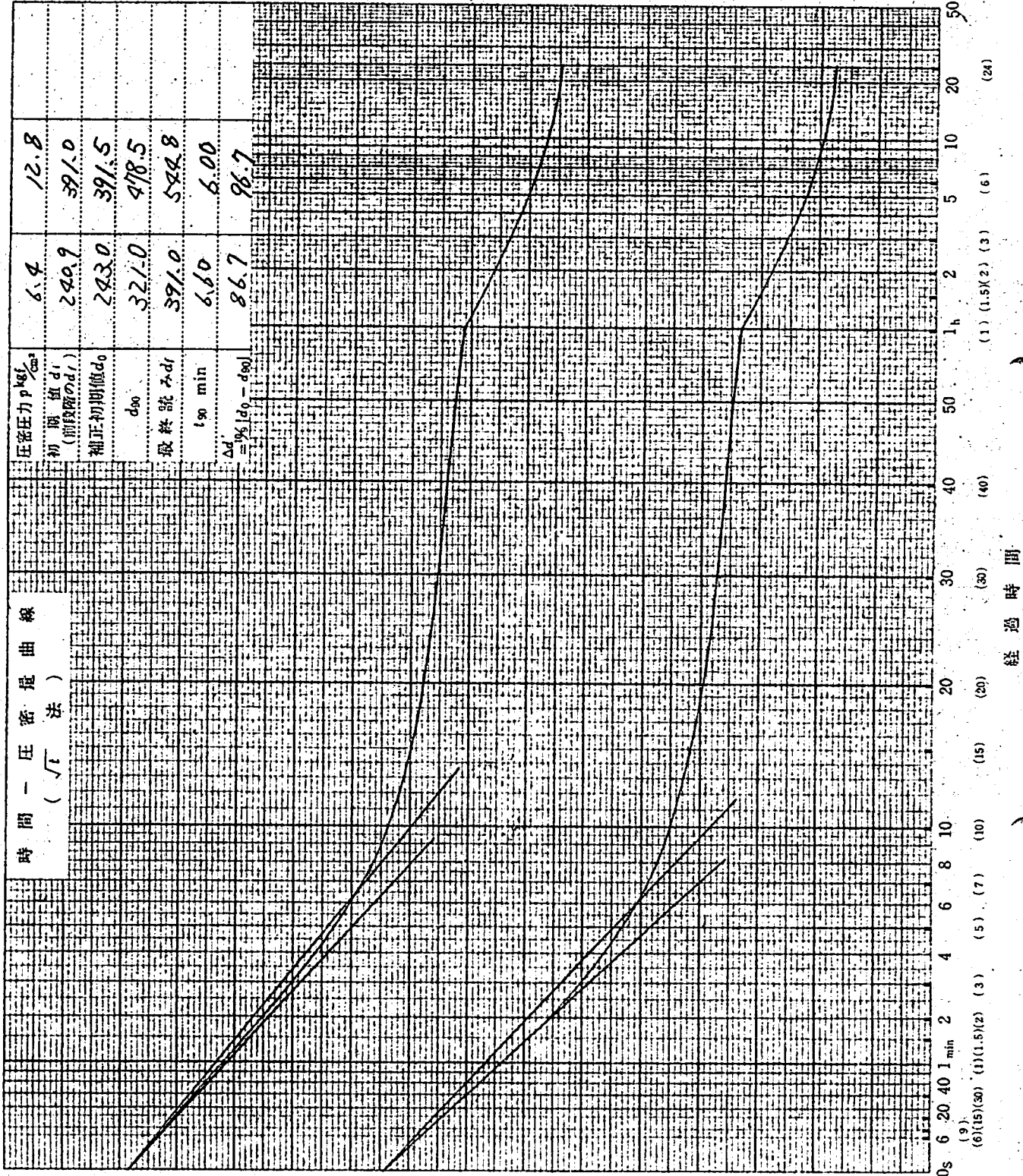


調査名・調査地点 稲毛海浜公園地質調査委託

試験年月日 60年 9月 27日

試料番号・深さ: No. 2 (31.00 m ~ 31.80 m)

試験者



圧密圧力 $p =$	圧密圧力 $p =$	圧密圧力 $p =$
560 kgf/cm ²	480 kgf/cm ²	420 kgf/cm ²
440 kgf/cm ²	380 kgf/cm ²	320 kgf/cm ²
300 kgf/cm ²	240 kgf/cm ²	200 kgf/cm ²

タイマノリ読み (1/100 mm)

圧密圧力 p kgf/cm ²	6.4	12.8
初期値 d_i (前段階の d_i)	240.9	391.0
修正初期値 d_0	243.0	391.5
d_{90}	321.0	478.5
最終読み d_f	391.0	542.8
t_{90} min	6.60	6.00
$\Delta d = \% d_0 - d_{90} $	86.7	96.7

経過時間 (9) (6)(15)(30) (1)(1.5)(2) (3) (5) (7) (10) (15) (20) (30) (40) (50) (1h) (1.5)(2) (3) (6) (24)

調査名・調査地点 稲毛海浜公園地質調査委託

試験年月日 60年9月27日

試料番号・深さ: No. 2 (35.00m~35.80m)

試験者

